3-9 関東甲信地方の地殻変動

Crustal Movements in the Kanto District

国土地理院

Geographical Survey Institute

第1~6 図は関東地方における水準測量の結果である。地殻変動として注目するべきものはあまりないが、第2図の高崎から宇都宮の路線において足尾から日光にかけての区間が隆起しているのは前回観測時のパターンと似通っており、有意な傾向と思われる。

第7図は布良・勝浦・油壺各験潮場間の月平均潮位差である。特にめだった傾向の変化は見られない。

第8図は鹿野山における精密辺長観測結果である。特に顕著な傾向の変化は見られない。

第9~11 図は、茨城県周辺のGPS観測結果である。この半年の間、茨城県南西部などでやや揺れの大きい地震があったため作成したが、いずれの地震も震源が深いこともあって変化を検出するには至らなかった。

第 12~14 図は浅間山周辺のG P S 観測結果である。6 月末に一時的に火山性の地震が増えたがG P S にはそれに伴う変化は見られない。

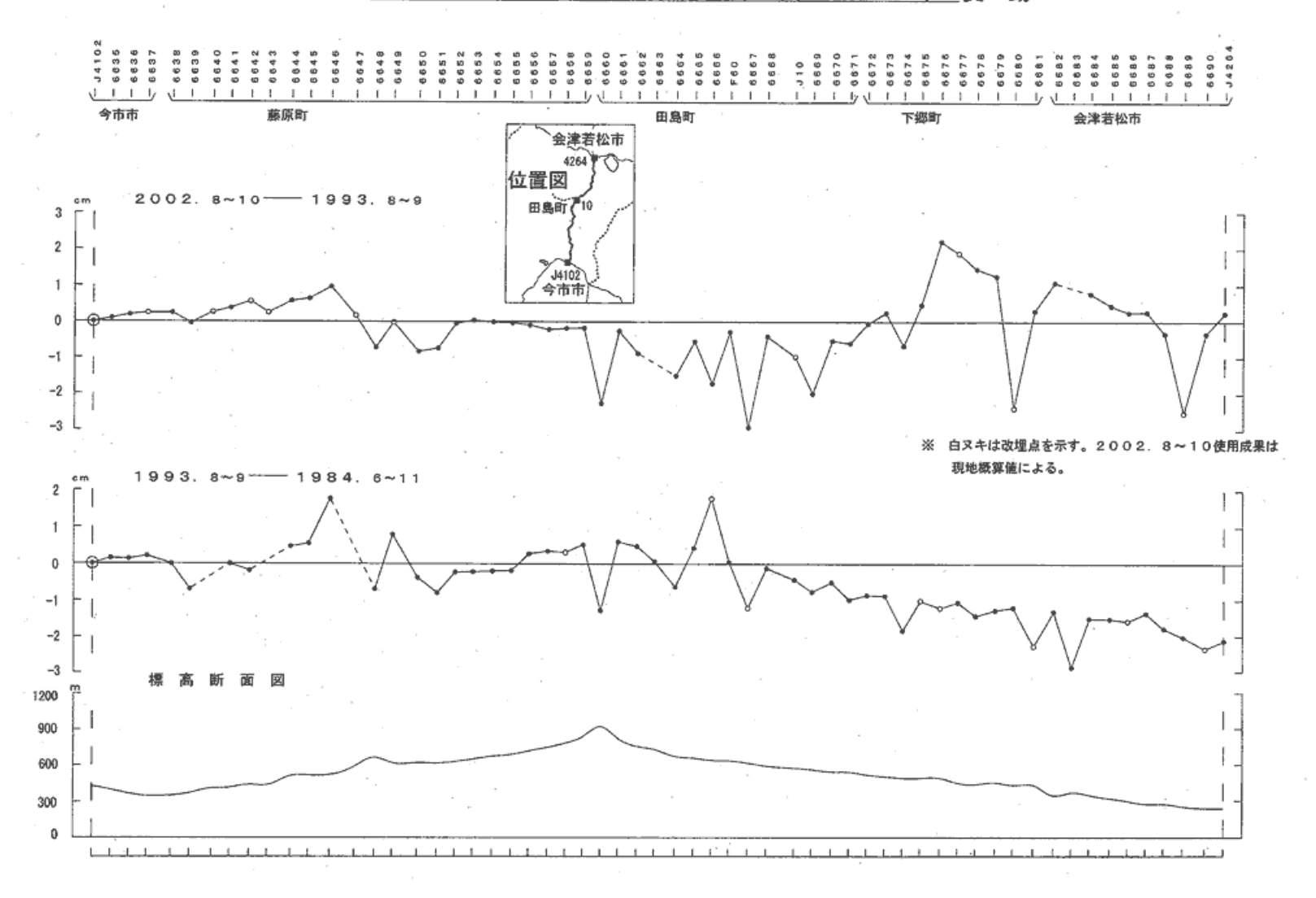
第 15~28 図は、房総半島で 10 月上旬から中旬にかけて発生した SLOW SLIP イベントに関連する房総半島周辺のGPS観測結果である。大網白里から勝浦にかけての房総半島中東部の観測点が、10 月 4 日頃から南東から南南東方向へ変動を始め、この動きは約 10 日間程度継続して終息した。この地域では、1996 年にも同じような SLOW SLIP イベントが観測されていて、滑りが発生している時期に房総半島東方沖で地震活動が活発化したこと、継続時間が 10 日程度であったこと、変動が検出された観測点がほぼ重なっており変動の量が最大で 2cm 程度であったことなど、前回と同じ領域が 6 年後にまた同じ滑りを発生させたとみられ、この地域のテクトニクスやアスペリティの分布を考える上でも興味深い。第 24 図は、1996 年と今回の slow slip イベント時の水平変動ベクトルで、プレートの沈み込みに伴う通常の変動と逆向きに変位していることが分かる。第 25 図はプレート境界での滑り量を 2 回のイベントについて推定したものである。 キャプションにもあるように、この地域の歪みエネルギーはこのようなゆっくり滑りで大半が解放されていると見られる。第 26 図はモデルによる変動量の計算値と実際の観測値を比較したもので、良く一致している。第 27 図は推定滑りの時間変化を示したものである。第 28 図にはこの期間の房総半島周辺の地震発生の様子を示した気象庁の資料であるが、推定滑り領域の北側で始まった地震が、後半には領域の西側に移ったことが第 27 図との比較でわかる。

第 29~31 図は、松本周辺における GPS 連続観測結果である。10 月 4 日に規模は小さいが牛伏寺 断層付近での地震が発生した。しかしそれに関連した変動は見られない。

第 32~37 図は富士山周辺および箱根山周辺の GPS 連続観測結果である。2000 年末からの富士山の低周波地震の増加に対応するような特段の変化は GPS には現れておらず、最近も目立った変動は見られていない。一方、箱根山周辺では 2001 年 6 月以降群発性の地震が発生し、箱根山をはさむ基線に変化が現れたが、2001 年 10 月以降沈静化している。

第38~41 図は富士山周辺における重力測定の結果である。山の北東にある絶対重力観測点では重力測定値が増加しているが、周辺の観測点では増加と減少が混在しており、山体の沈降または隆起を思わせる変化はない。

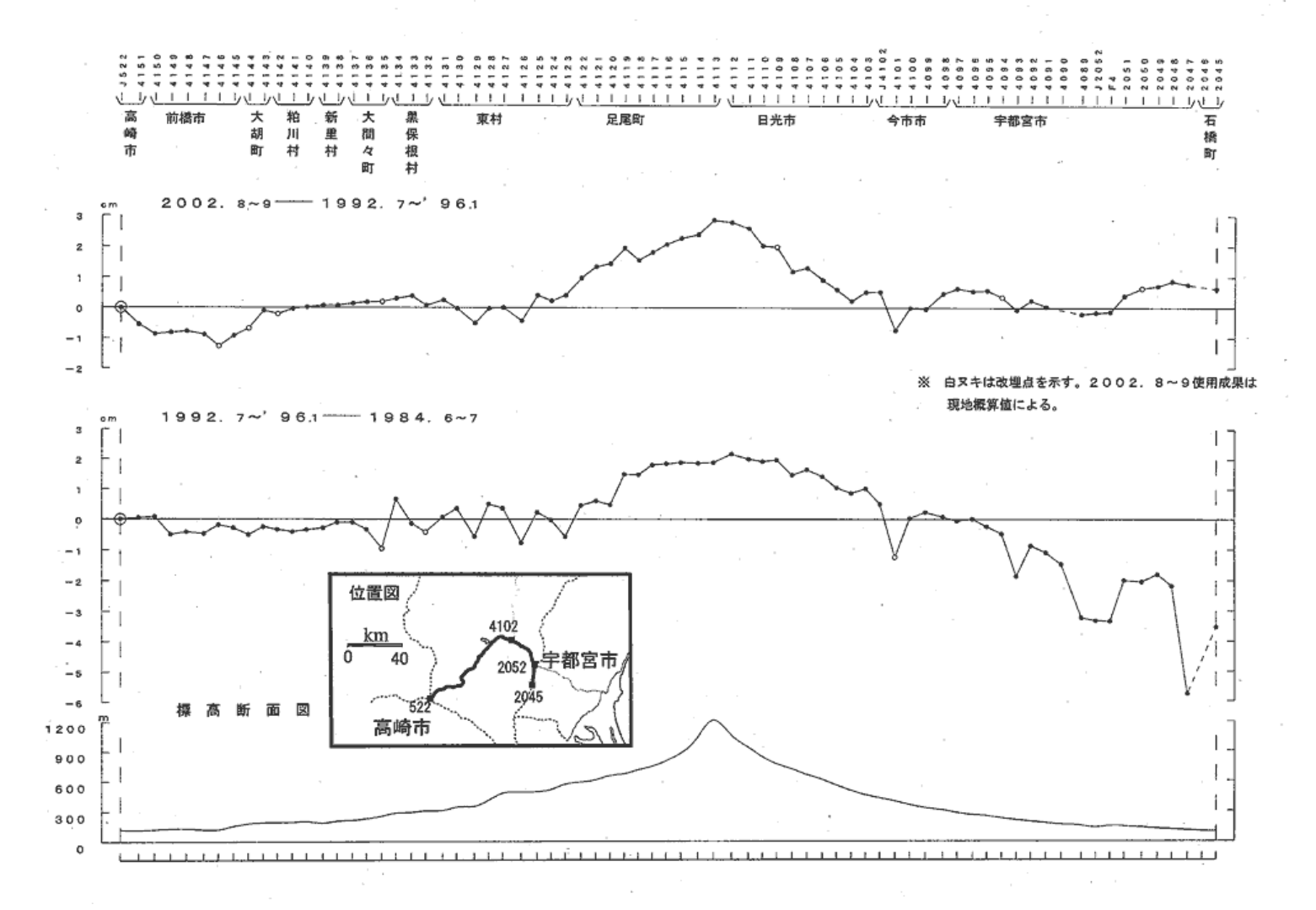
今市市~会津若松市間の上下変動



第1図 関東地方における水準測量結果

Fig1 Results of Leveling Survey in Kanto District

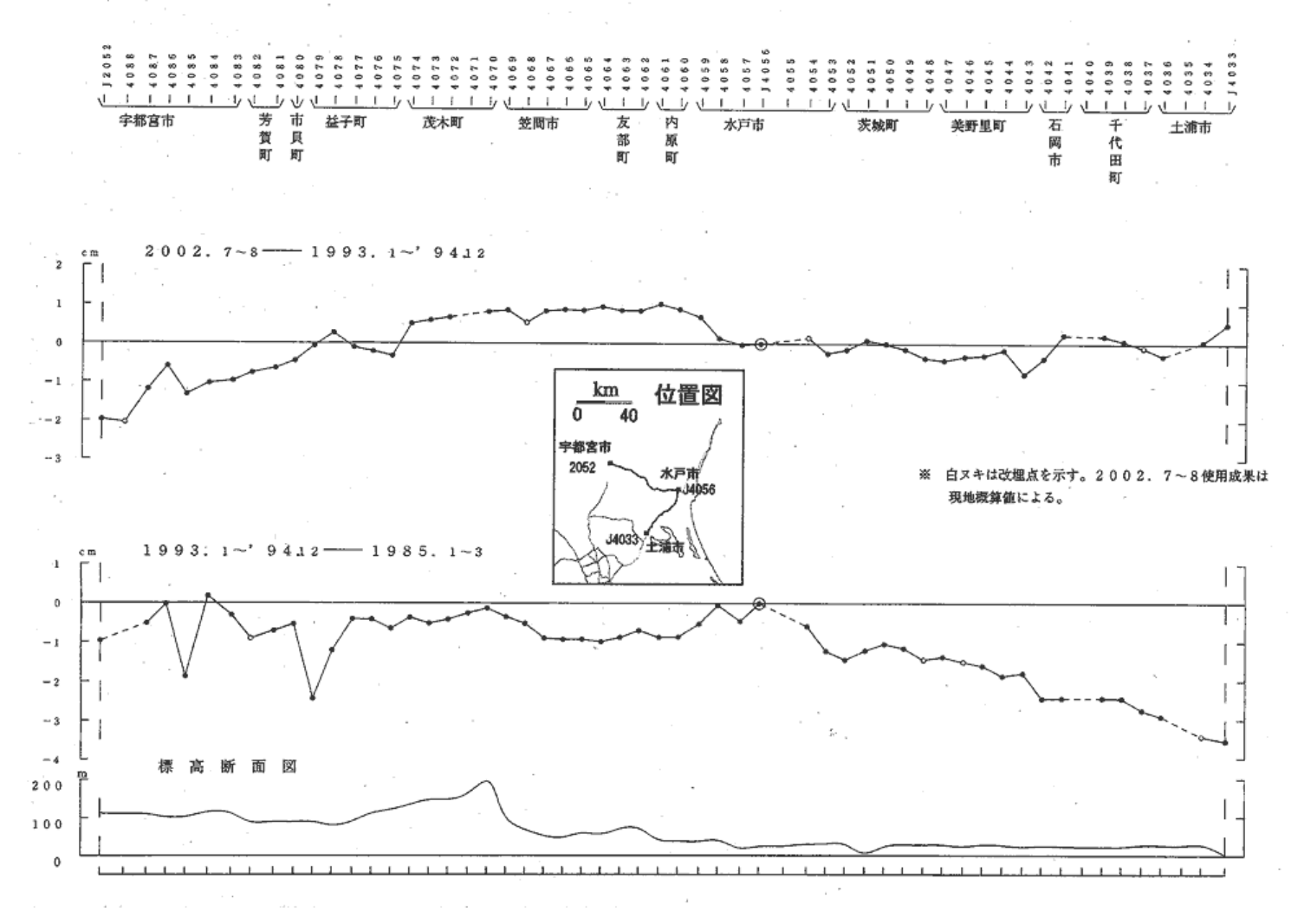
高崎市~宇都宮市間の上下変動



第2図 関東地方における水準測量結果

Fig.2 Results of Leveling Survey in Kanto District

宇都宮市~水戸市~土浦市間の上下変動



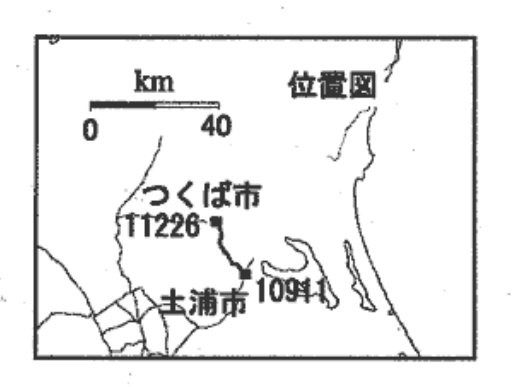
第3図 関東地方における水準測量結果

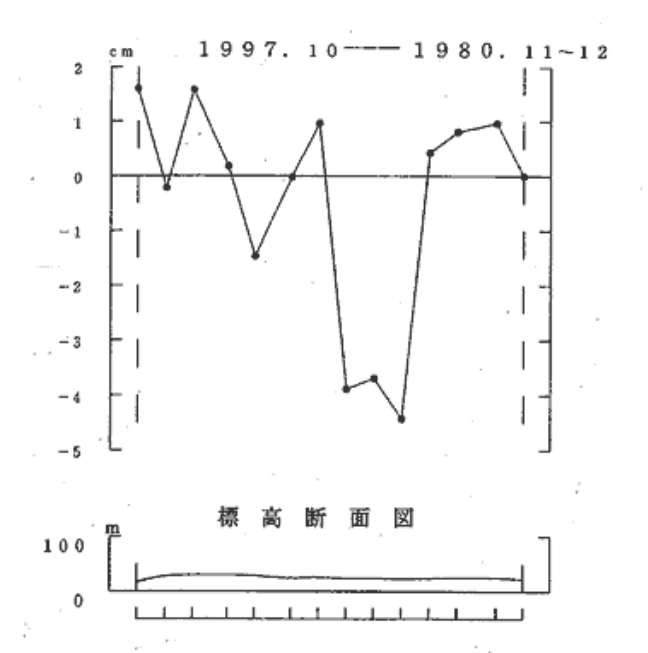
Fig.3 Results of Leveling Survey in Kanto District

つくば市~土浦市間の上下変動





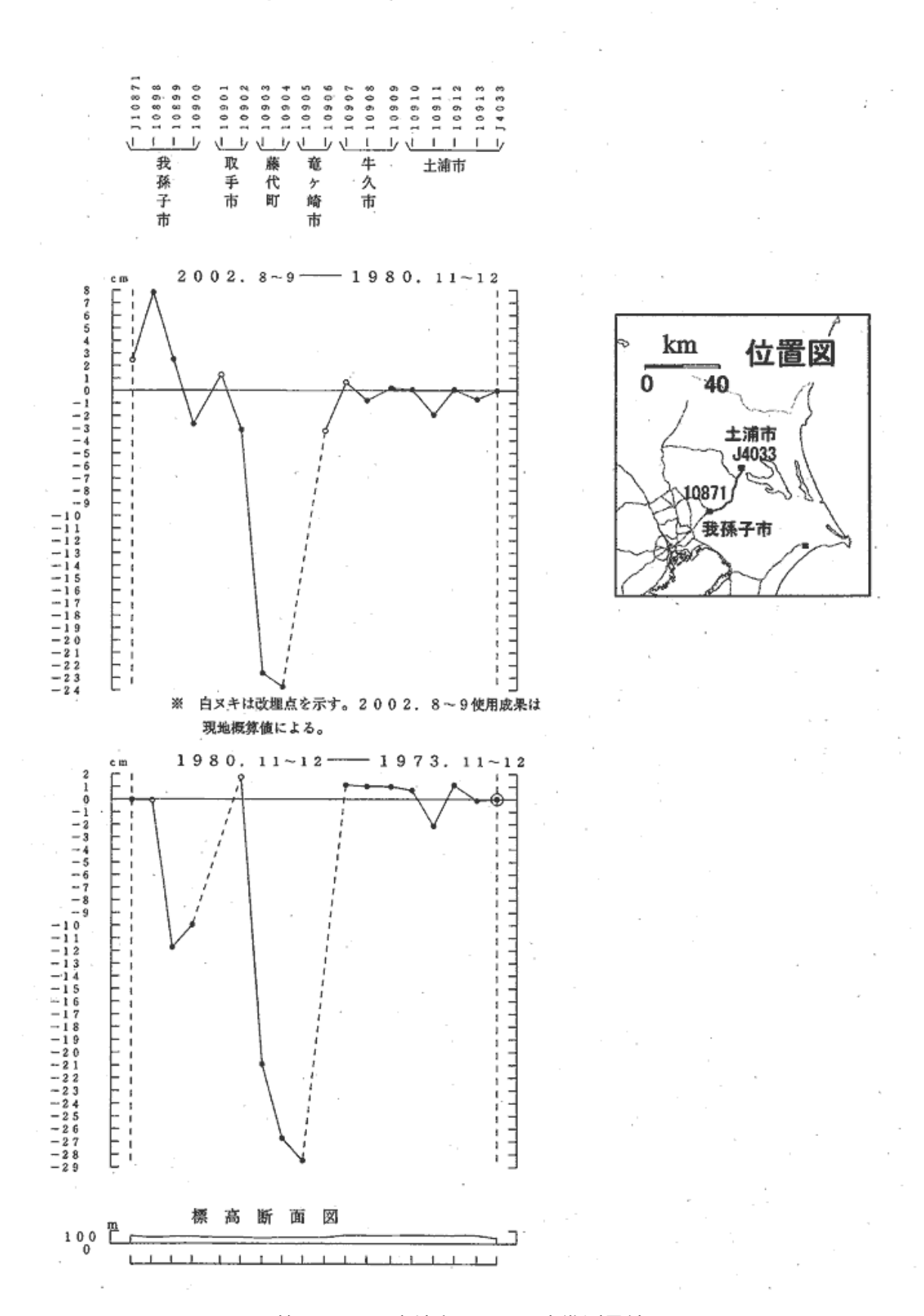




第4図 関東地方における水準測量結果

Fig.4 Results of Leveling Survey in Kanto District

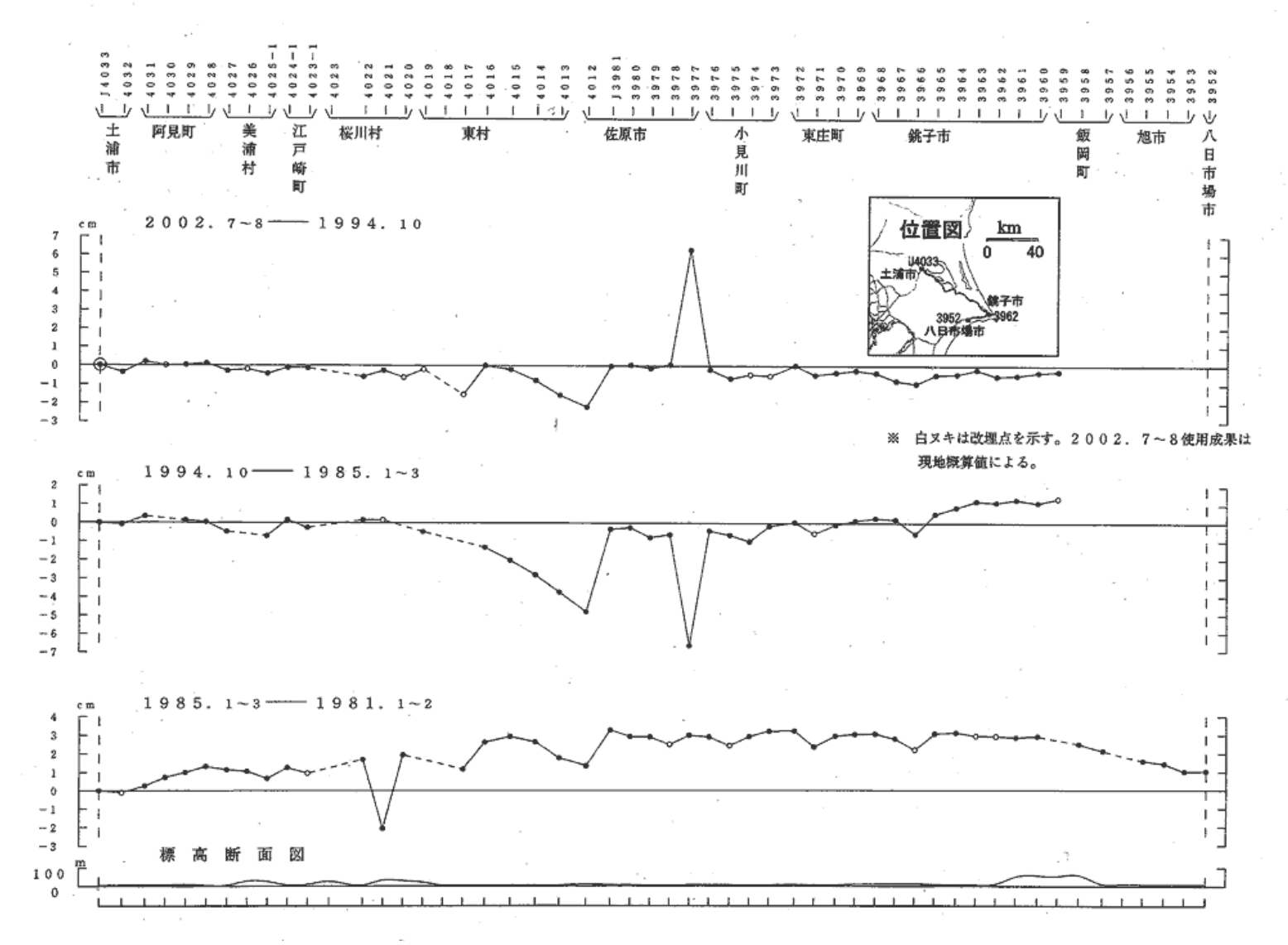
我孫子市~土浦市間の上下変動



第5図 関東地方における水準測量結果

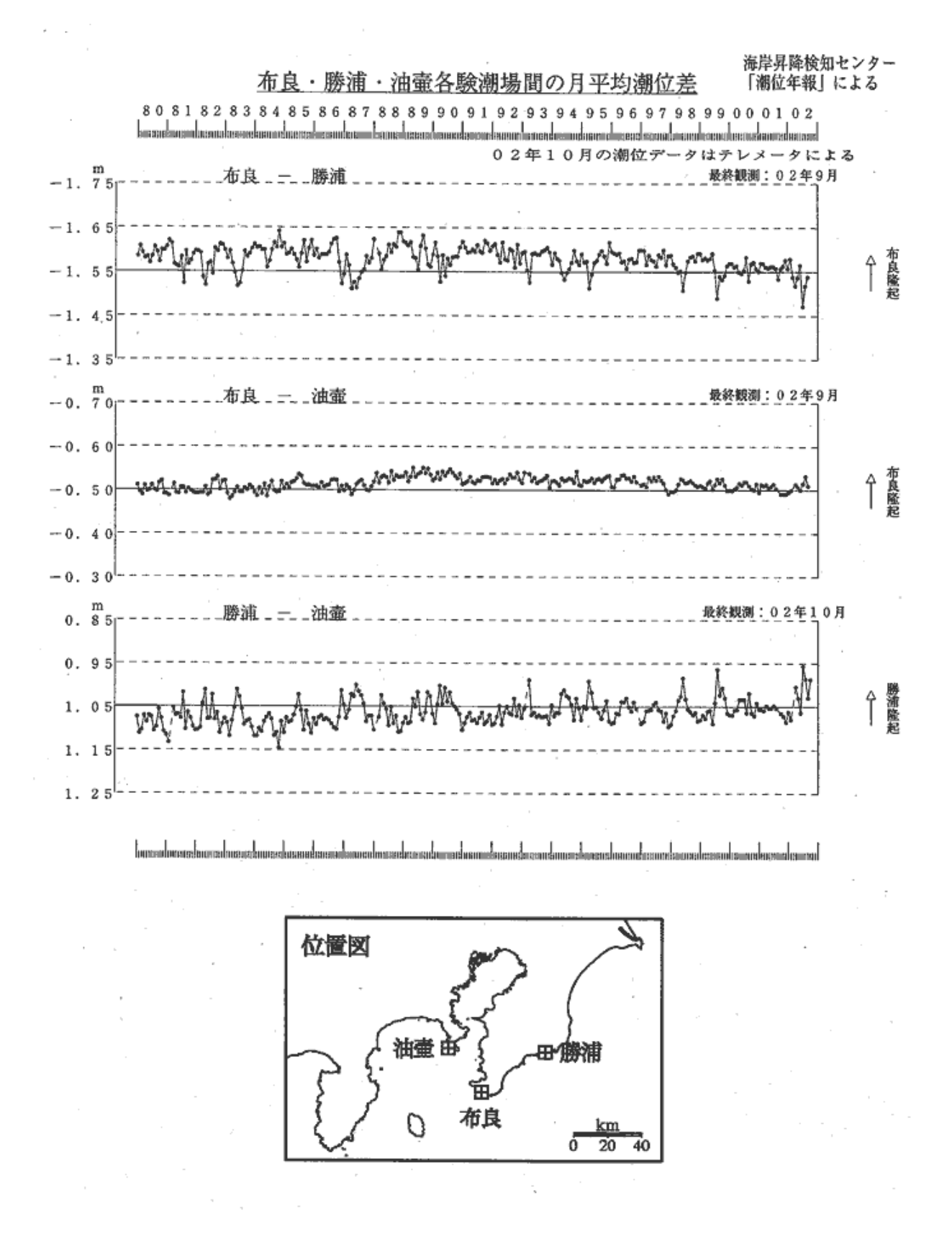
Fig.5 Results of Leveling Survey in Kanto District

土 浦 市 ~ 銚 子 市 ~ 八 日 市 場 市 間 の 上 下 変 動



第6図 関東地方における水準測量結果

Fig.6 Results of Leveling Survey in Kanto District



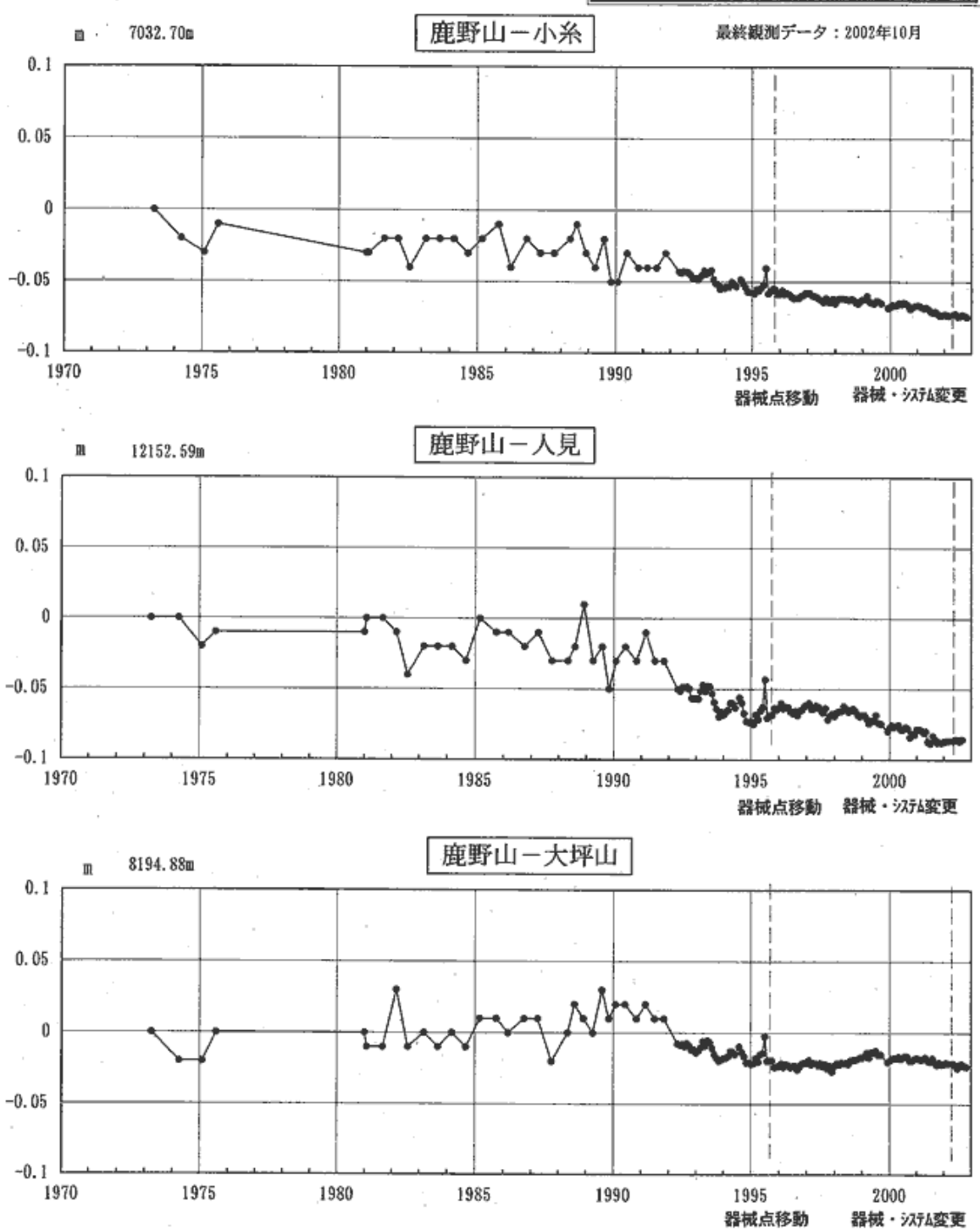
第7図 油壺、布良、勝浦験潮場間月平均潮位差

Fig.7 Comparisons of monthly mean values of sea level measured at 3 tide gauge stations in Kanto area.

鹿野山精密辺長連続観測結果 (EDM)

1992年4月からのデータは月平均値 1995年10月から器械点移動 2002年3月は器械・システム更新のため欠測 2002年4月から器械・システム更新 2002年9月から人見欠測





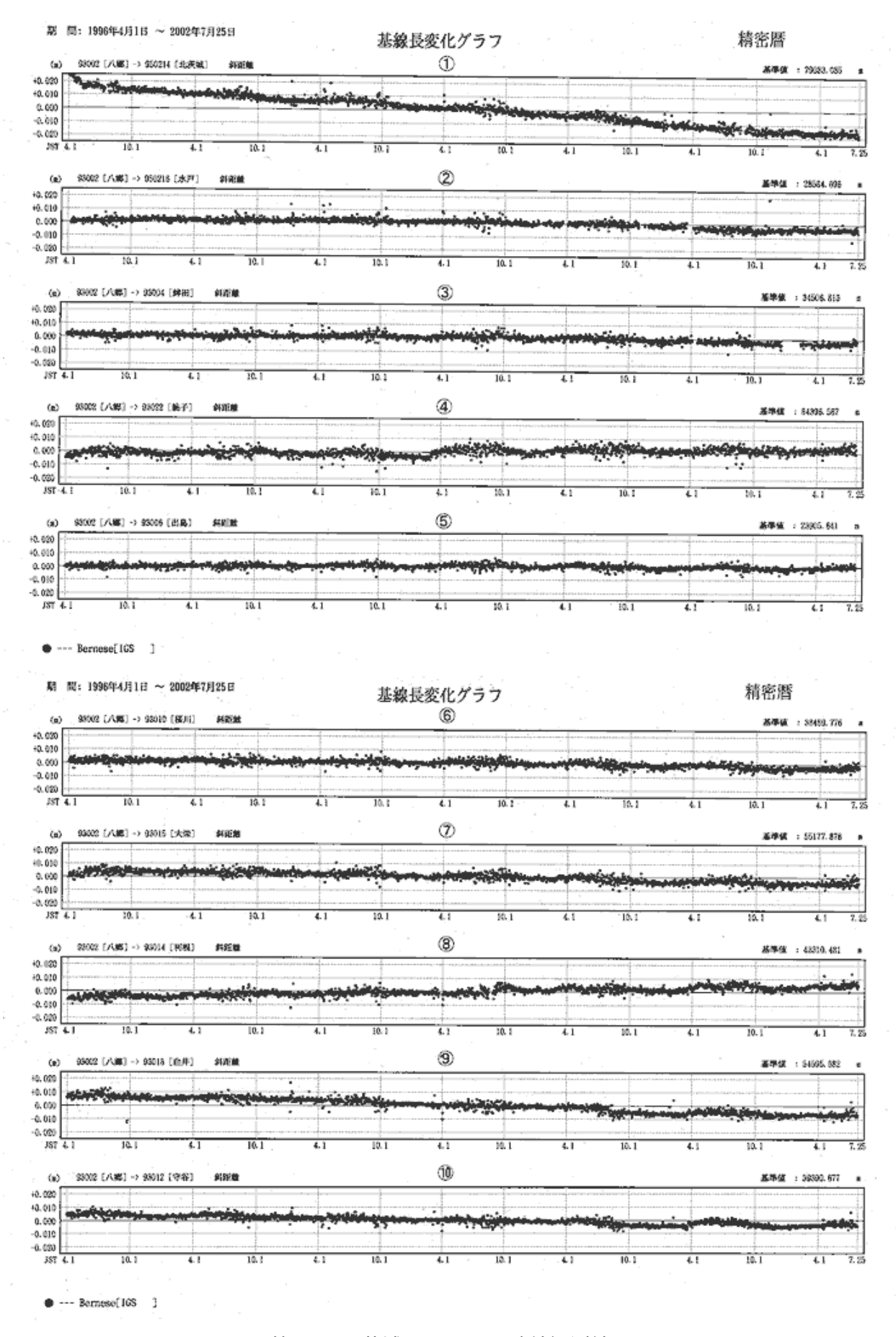
第8図 鹿野山精密辺長測量結果

Fig.8 Results of precise distance measurements at Kanozan.

茨城南部地区 GPS連続観測基線図 km 20 10 950210 970600 いわき2 37° 00'N 950214 北茨城 950213 美和 36" 30'N 950215 岩瀬 950216 水戸 960582 93004 鉾田 93007 久喜 36" 00'N 93010 93012 93014 利根 93015 大栄 93024 千葉松尾 35° 30'N 93033 ## 139° 30'E 140° 30'E 140° 00'E 141' 00'E

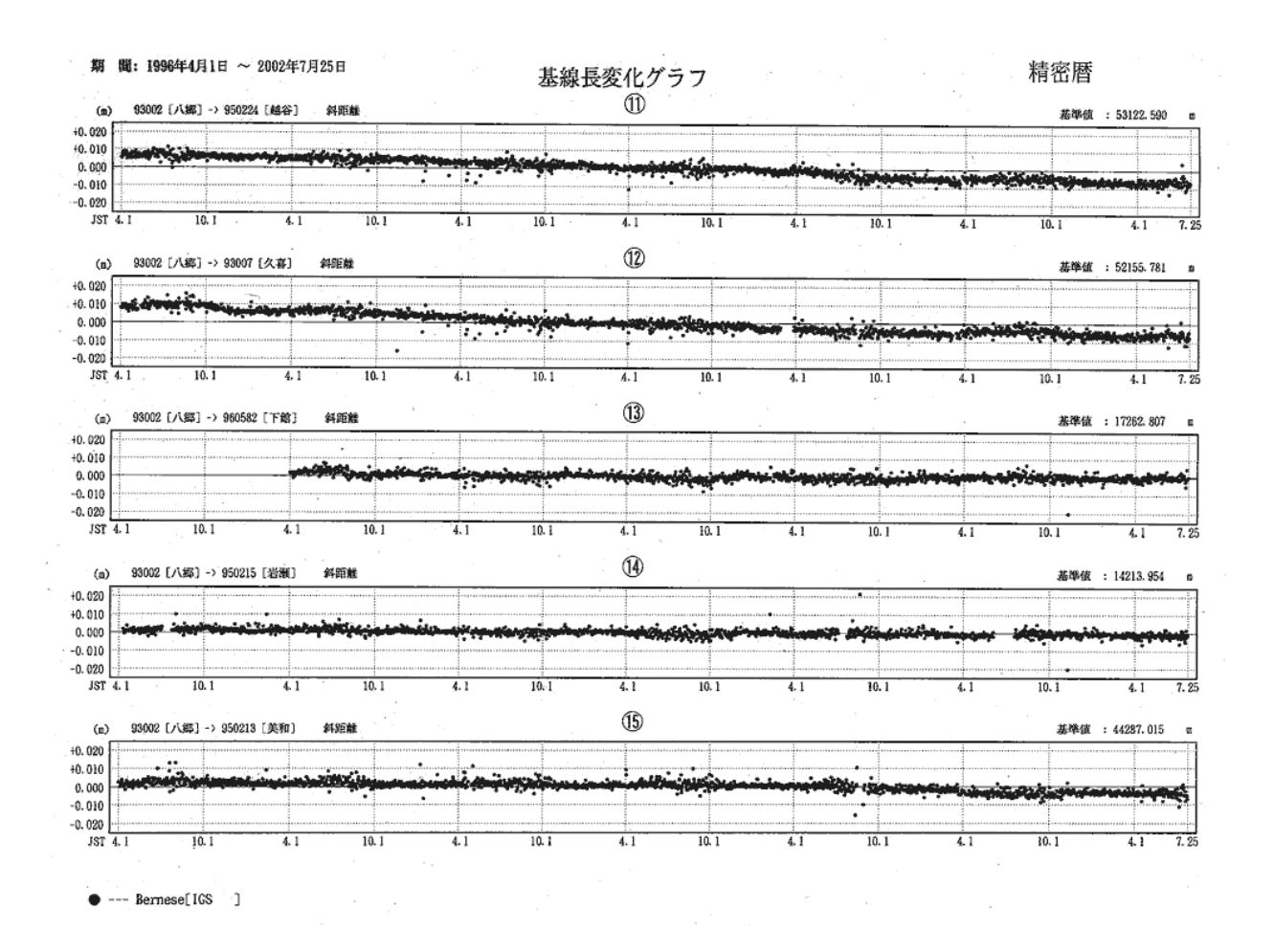
第9図 茨城県周辺 GPS 連続観測結果

Fig.9 Results of continuous GPS Measurements around Ibaraki Prefecture



第 10 図 茨城県周辺 GPS 連続観測結果

Fig.10 Results of continuous GPS Measurements around Ibaraki Prefecture



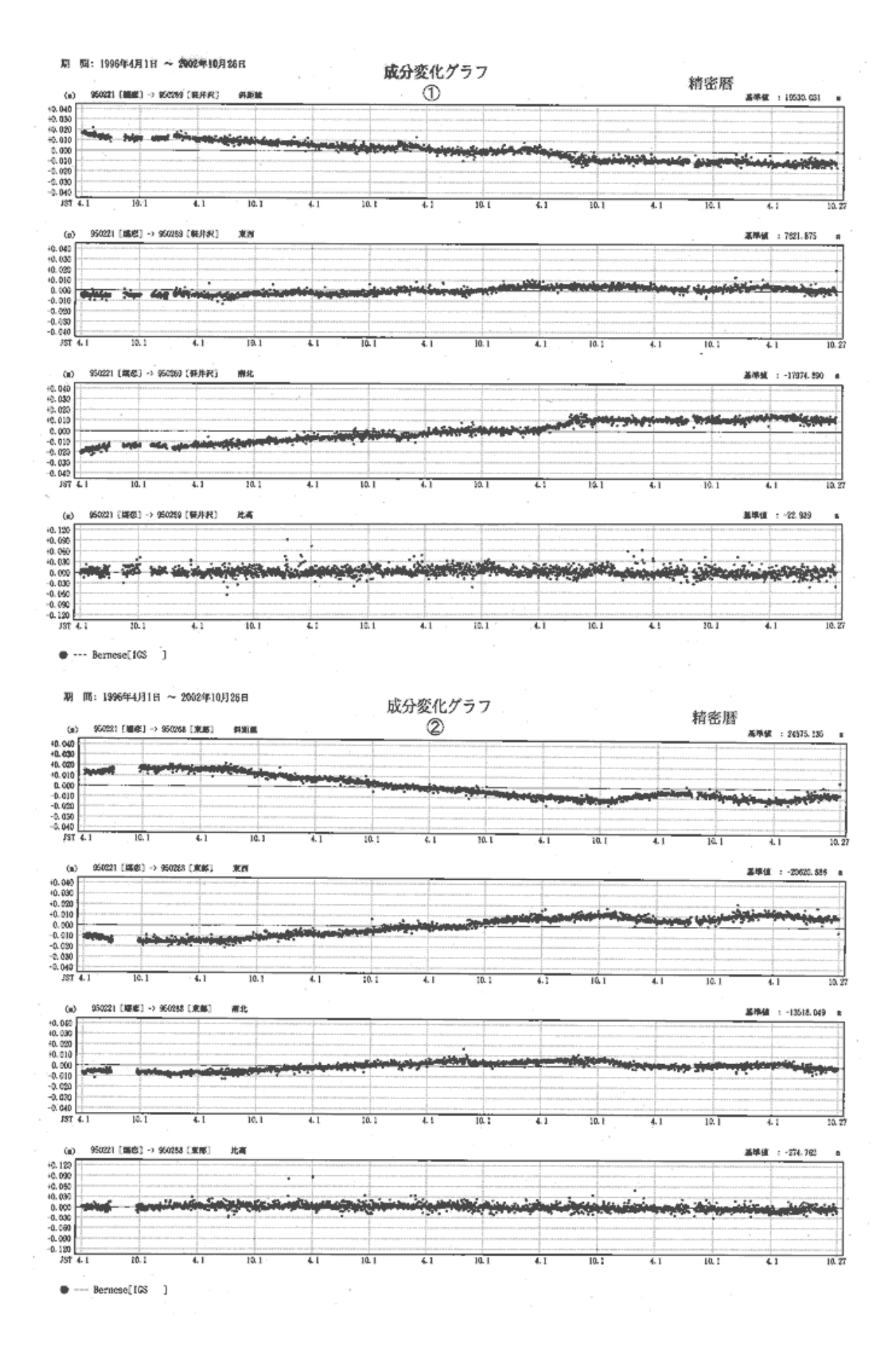
第 11 図 茨城県周辺 GPS 連続観測結果

Fig.11 Results of continuous GPS Measurements around Ibaraki Prefecture

浅間山地区 GPS連続観測基線図 36' 30'N 138° 30'E

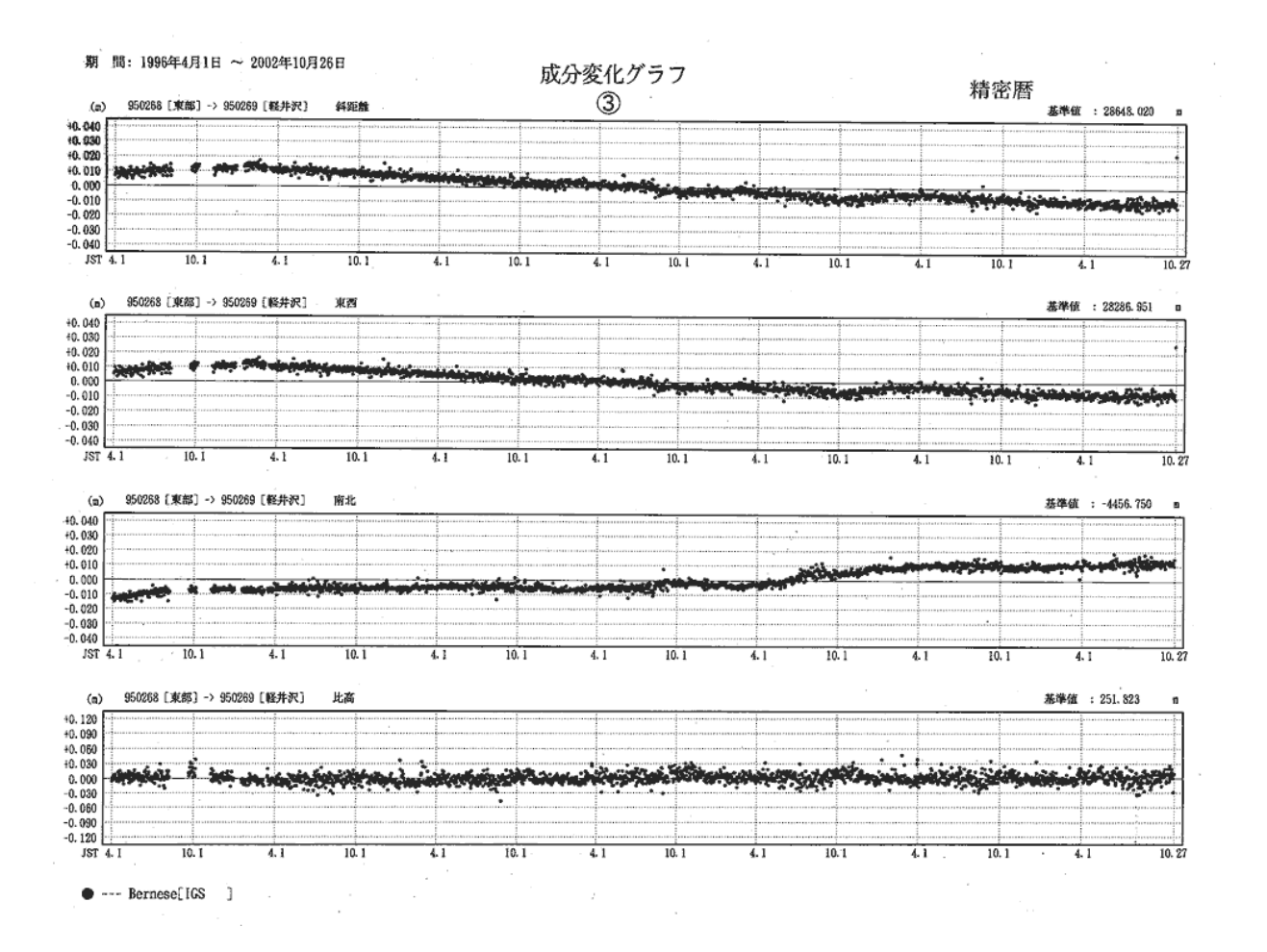
第12図 浅間山周辺の GPS 観測結果

Fig.12 Results of Continuous GPS Measurements around the Asama Volcano.



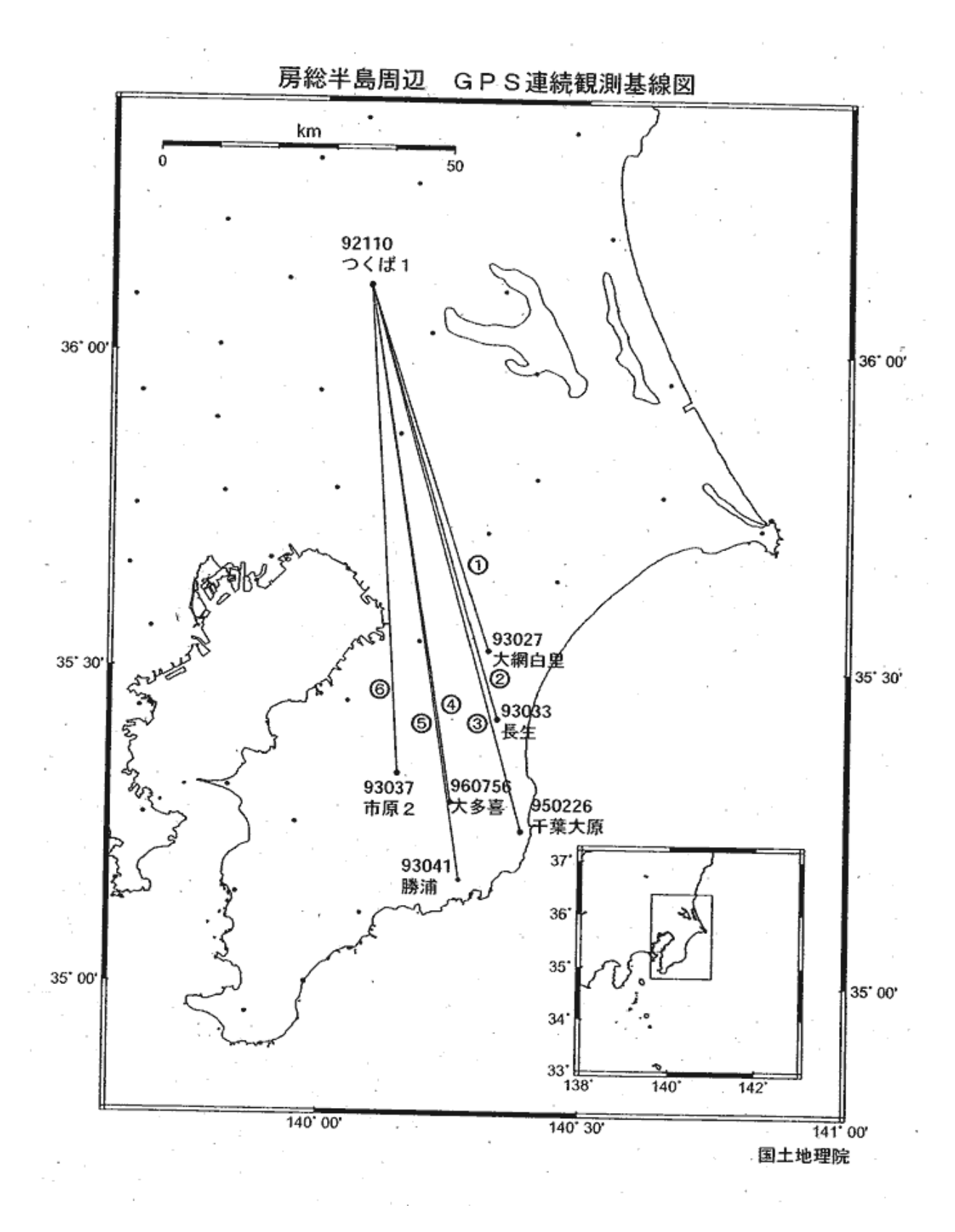
第13図 浅間山周辺の GPS 観測結果

Fig.13 Results of Continuous GPS Measurements around the Asama Volcano.



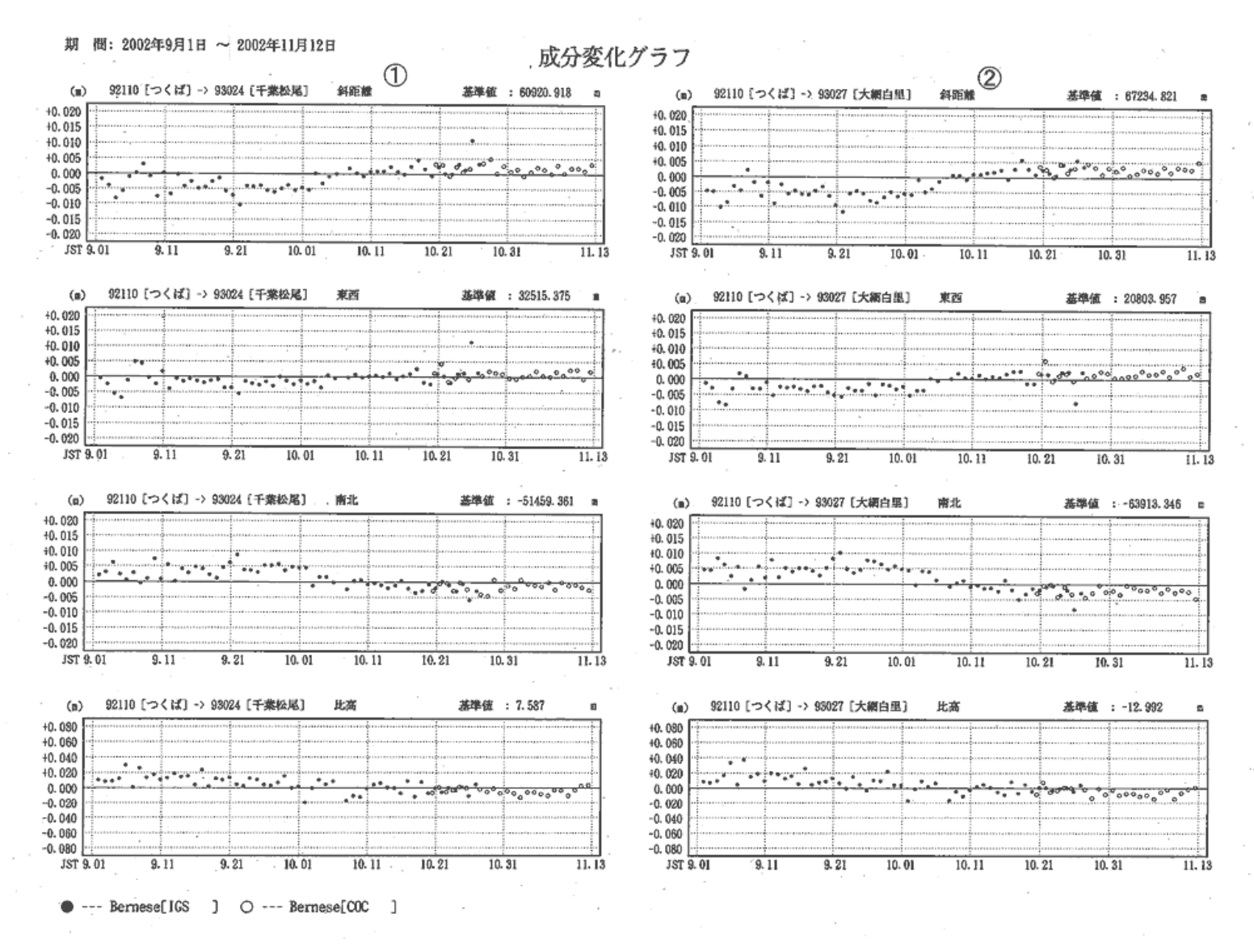
第14図 浅間山周辺の GPS 観測結果

Fig.14 Results of Continuous GPS Measurements around the Asama Volcano.



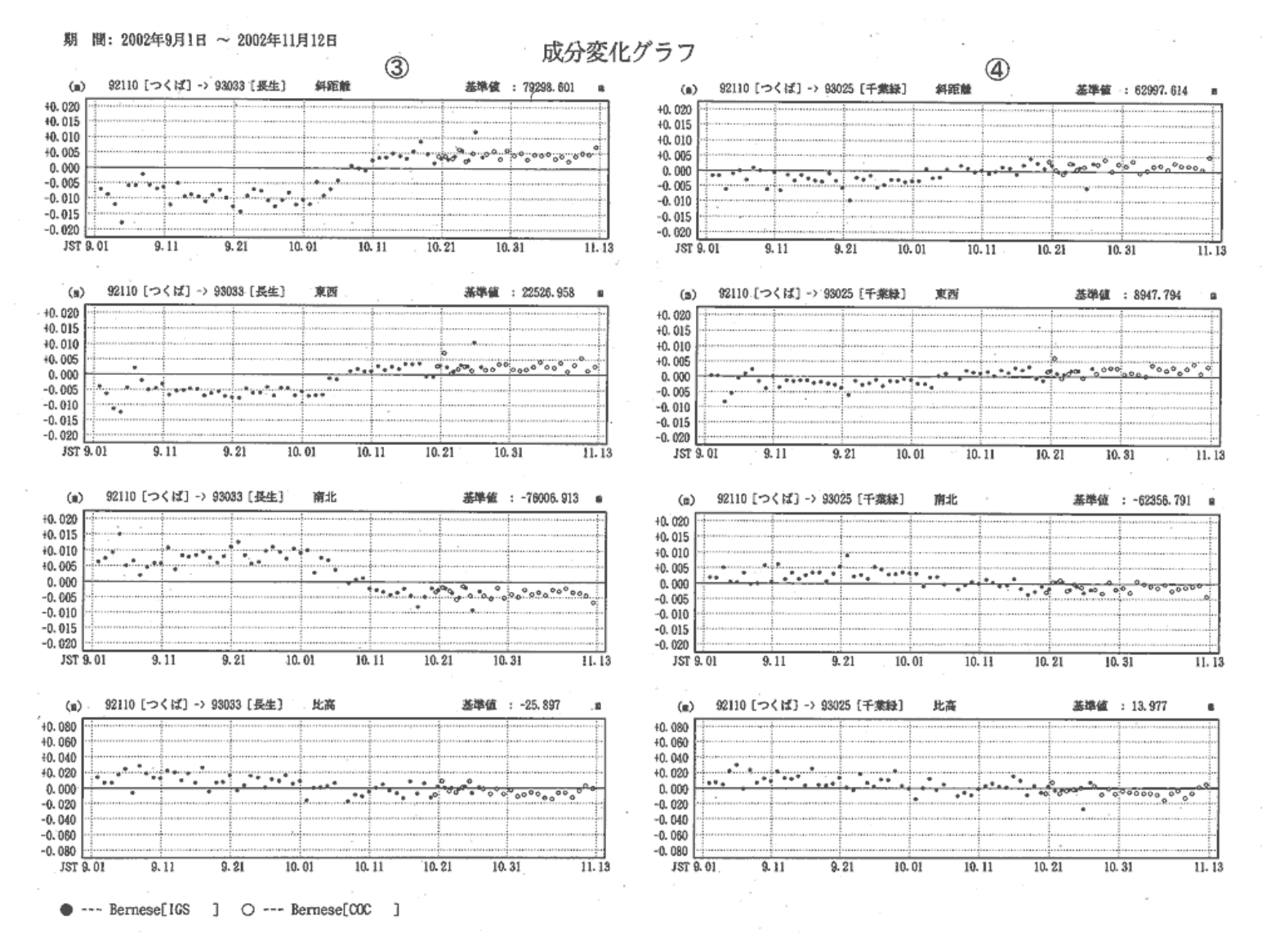
第15図 房総半島周辺の GPS 観測結果

Fig.15 Results of Continuous GPS Measurements around the Boso Peninsula



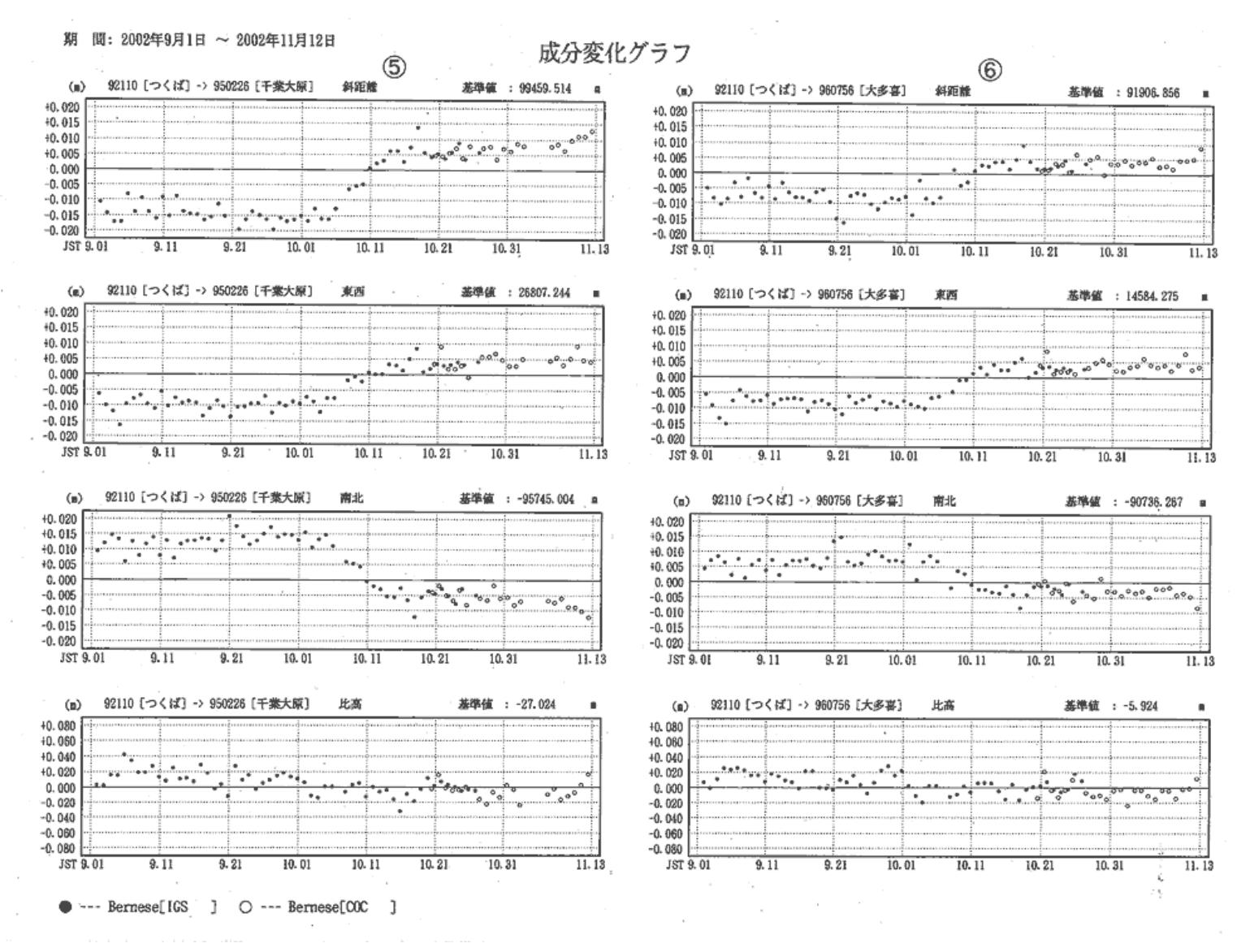
第16図 房総半島周辺の GPS 観測結果

Fig.16 Results of Continuous GPS Measurements around the Boso Peninsula



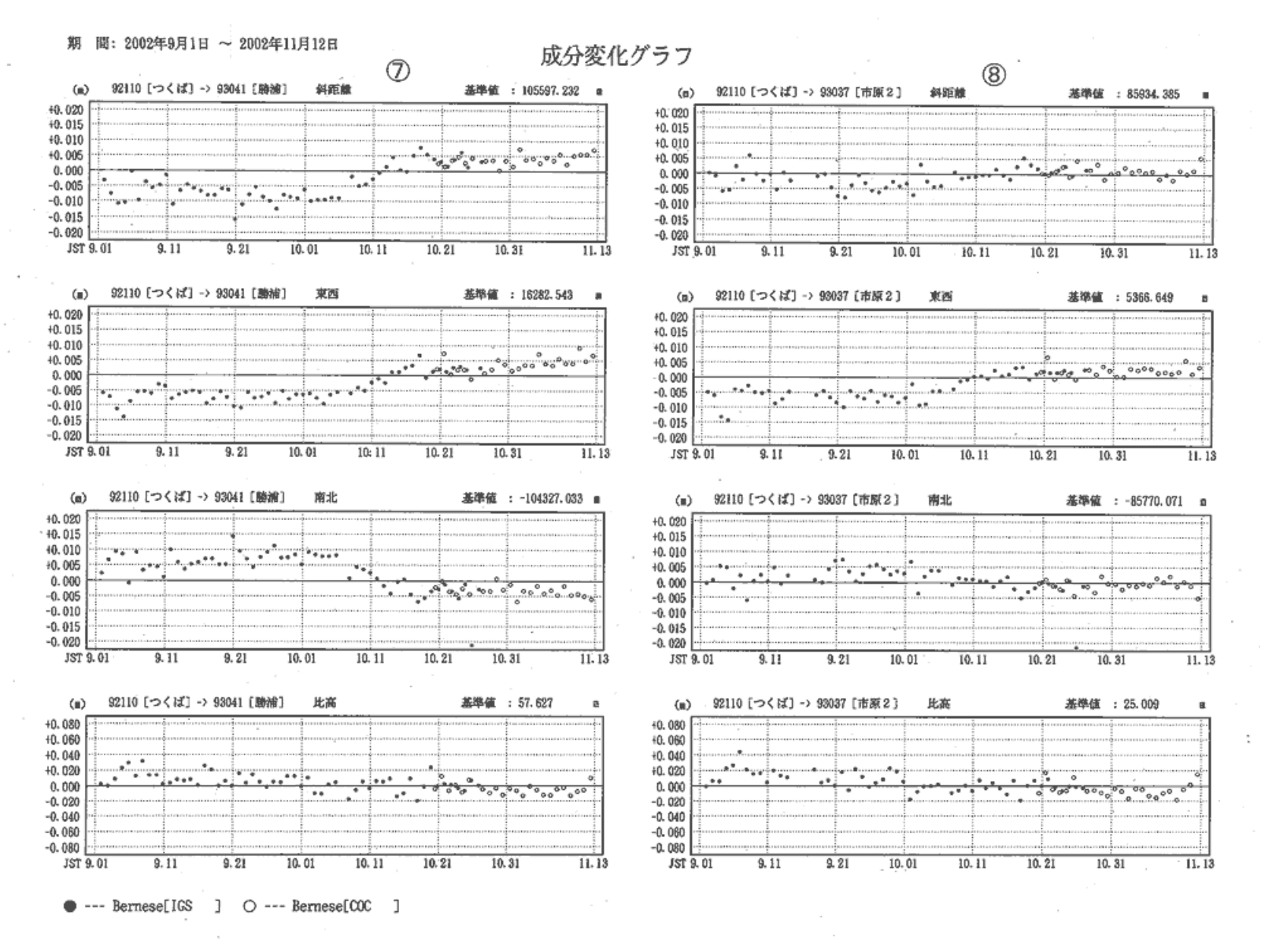
第17図 房総半島周辺の GPS 観測結果

Fig.17 Results of Continuous GPS Measurements around the Boso Peninsula



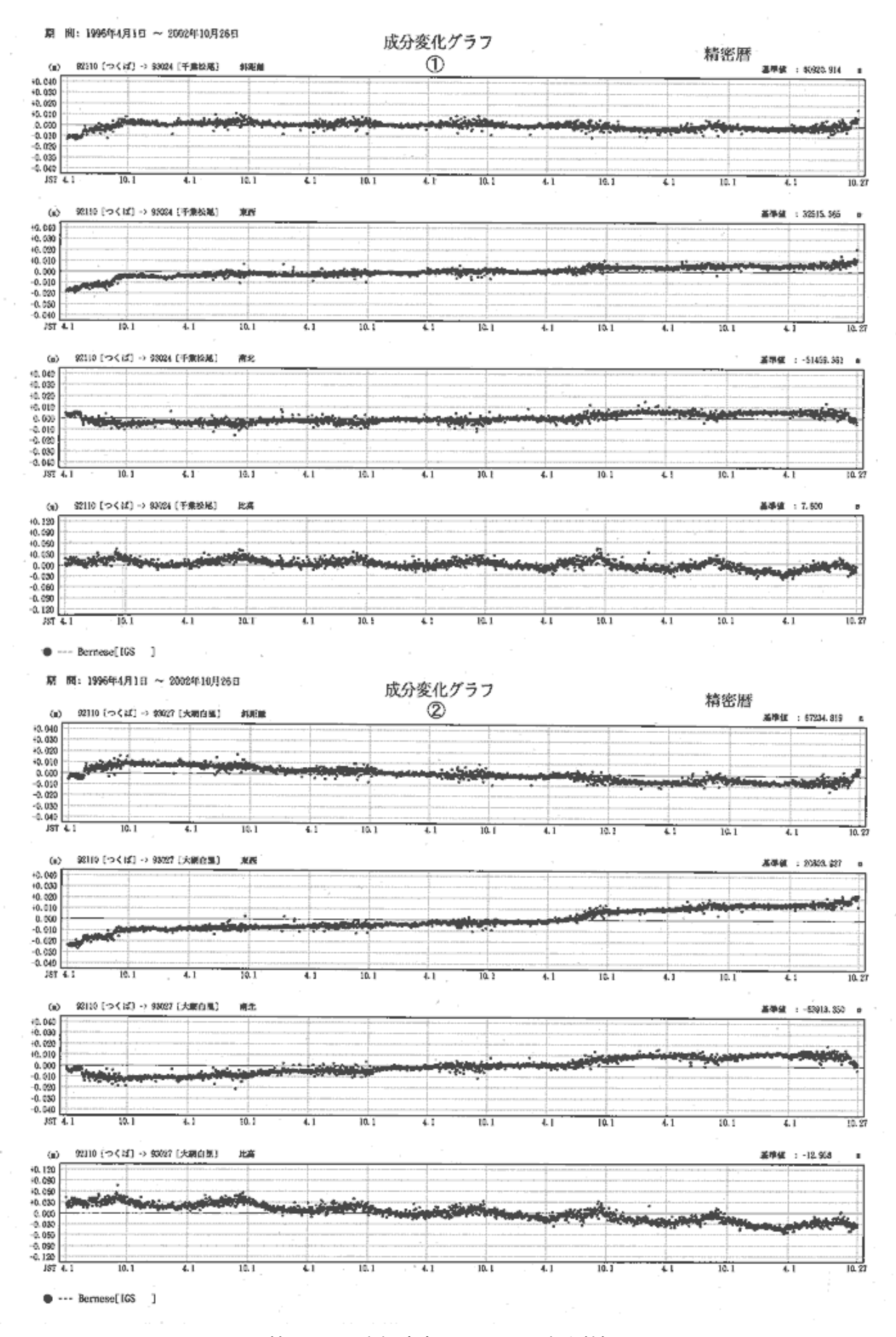
第18図 房総半島周辺の GPS 観測結果

Fig.18 Results of Continuous GPS Measurements around the Boso Peninsula



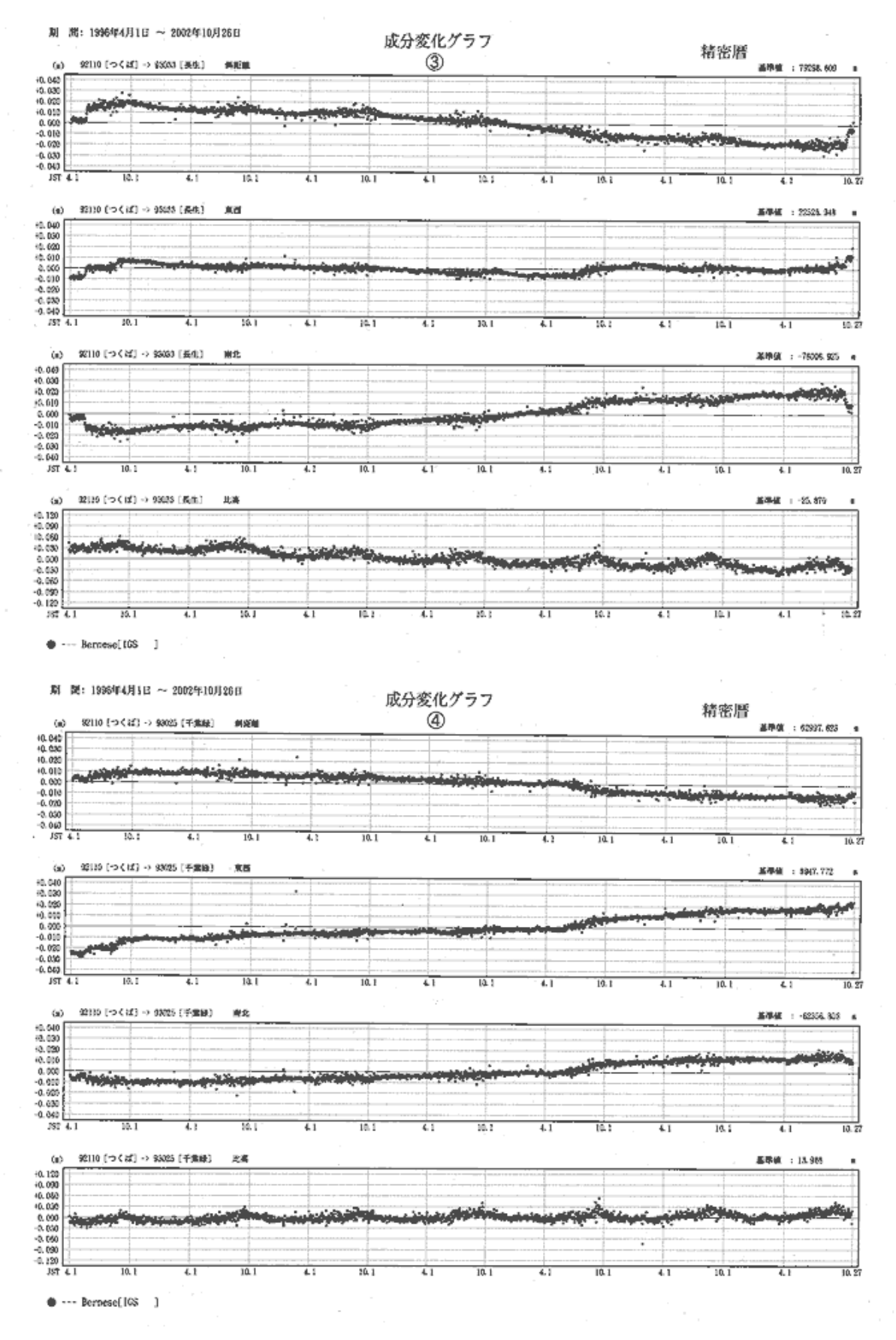
第19図 房総半島周辺の GPS 観測結果

Fig.19 Results of Continuous GPS Measurements around the Boso Peninsula



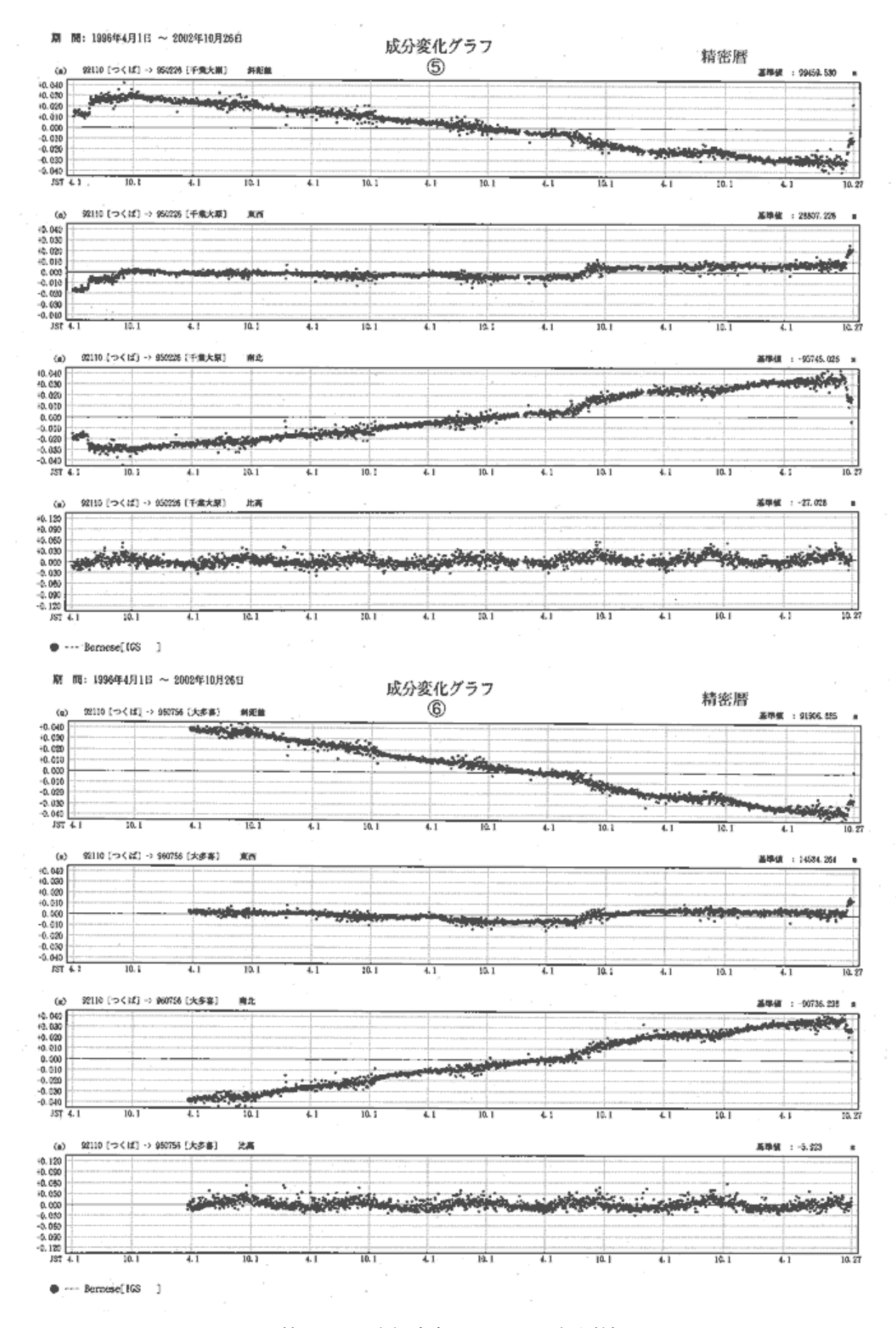
第20図 房総半島周辺の GPS 観測結果

Fig.20 Results of Continuous GPS Measurements around the Boso Peninsula



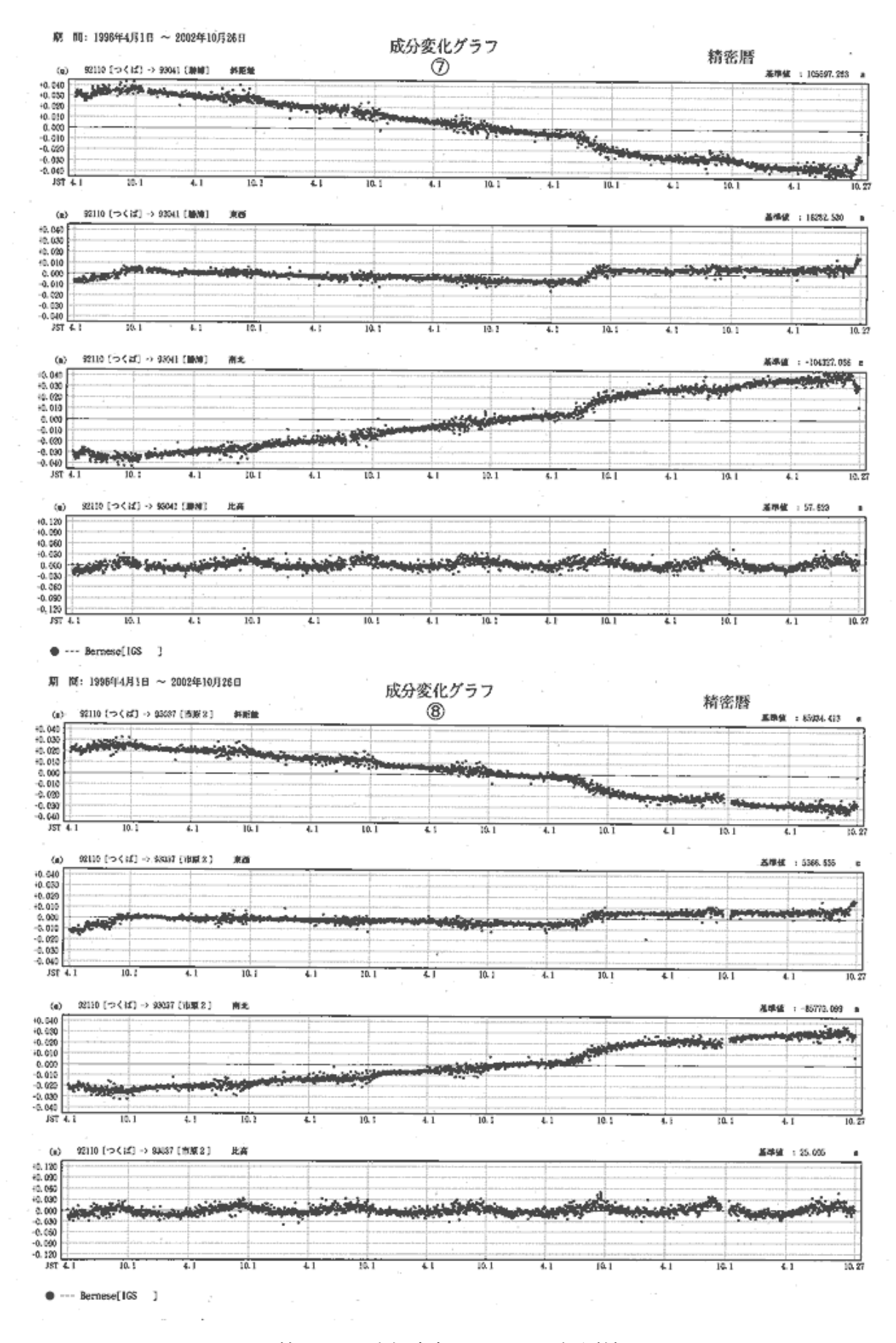
第21図 房総半島周辺の GPS 観測結果

Fig.21 Results of Continuous GPS Measurements around the Boso Peninsula



第22図 房総半島周辺の GPS 観測結果

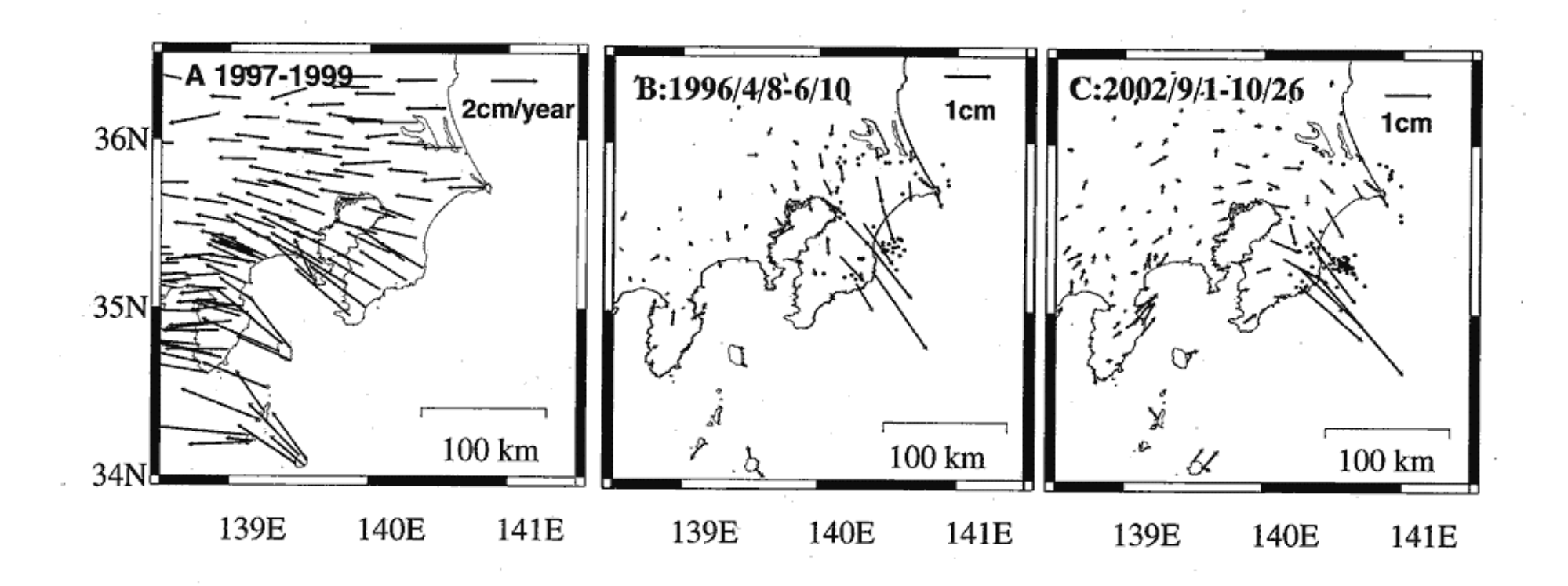
Fig.22 Results of Continuous GPS Measurements around the Boso Peninsula



第23図 房総半島周辺の GPS 観測結果

Fig.23 Results of Continuous GPS Measurements around the Boso Peninsula

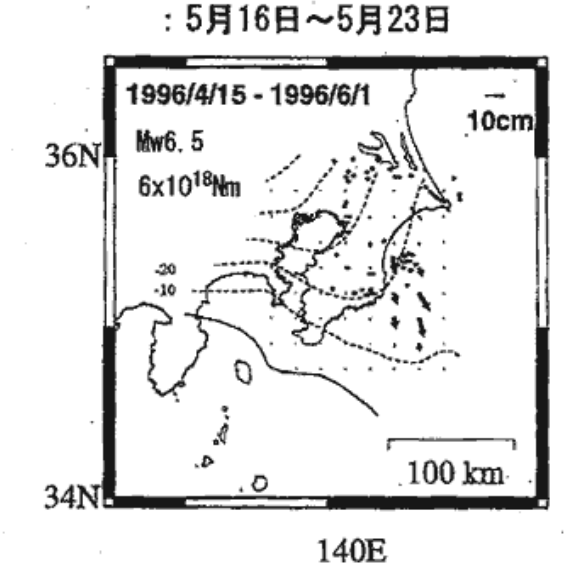
大潟固定地殼変動。A:定常的変動 B:1996年ゆっくり地震 C: 2002年変動



第 24 図 1996 年 5 月, 2002 年 10 月のゆっくり滑りに伴う水平変動と定常的変動

Fig.24 Horizontal Crustal Movement by Slow Slip Events on May 1996 and October 2002 and regular movement

1996年時の推定滑り(概算) 1996年の概略継続期間

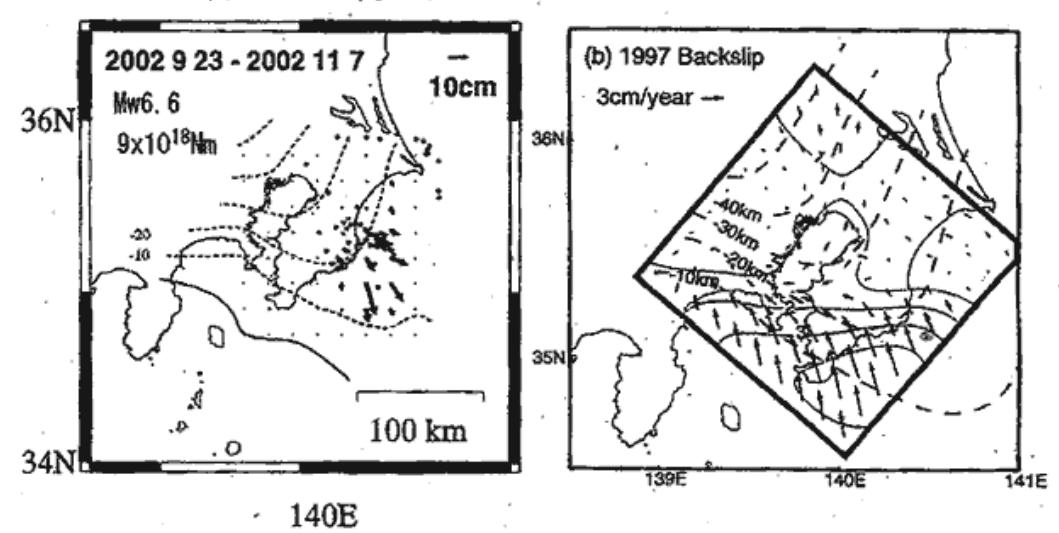


震源データ:気象庁震源(5月) M>=2 Depth>= -50km

(注) 震源データは気象庁による

2002年時の推定滑り(暫定)

2002年の概略継続期間 : 10月4日~10月14日



震源データ:気象庁暫定震源(10月) M>=2 Depth>= -50km

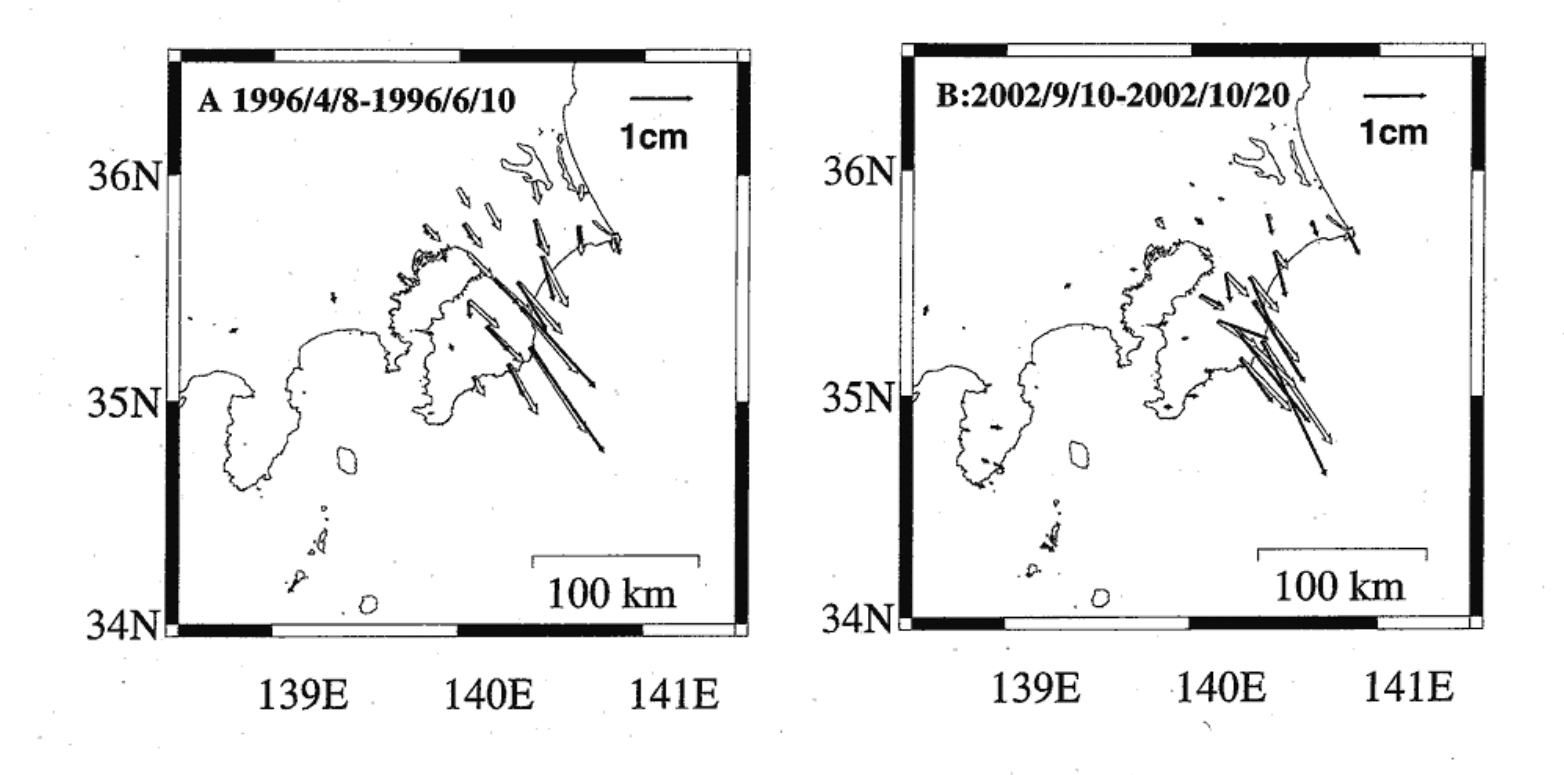
鷺谷1998 Bull. Earthq. Res. Inst. Unv. Tokyo

図2 滑り分布はほぼ同じ領域で起きている。地殻変動のパターンを反映して、若干南側に2002年 の滑りが大きく推定されている。2002年イベントのMw~6.5程度。1996年モデルは比較のために 同じ仮定の下で計算して見た概算的なモデル。地震は滑り領域の周辺域で発生しているように見える。 鷺谷によるカップリングレート1~2cmからは6年間で10cm程の滑りが期待され、今回の滑り量 は若干小さめに推定されているが、この地域の歪エネルギーの半分以上はゆっくり地震で解放されてい るように考えられる。

> 第 25 図 1996 年 5 月, 2002 年 10 月のゆっくり滑りにおけるプレート間の滑り量推定 Fig.25 Estimated Slip Vectors on Two Slow Slip Events on May 1996 and October 2002

観測地殻変動と計算地殻変動

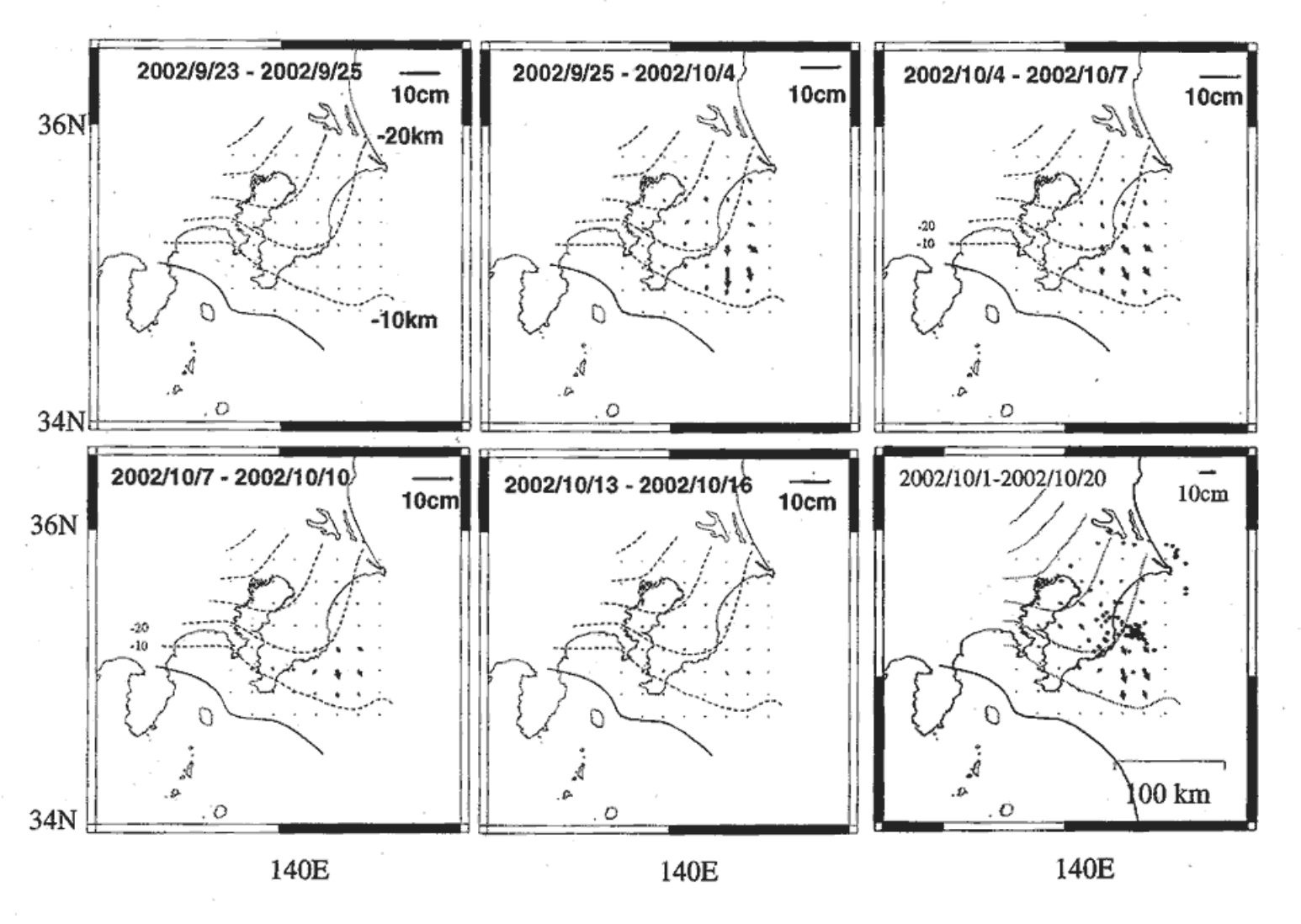
黒矢印:観測値 白矢印:計算値



第26図 観測された水平変動とモデル計算値の比較

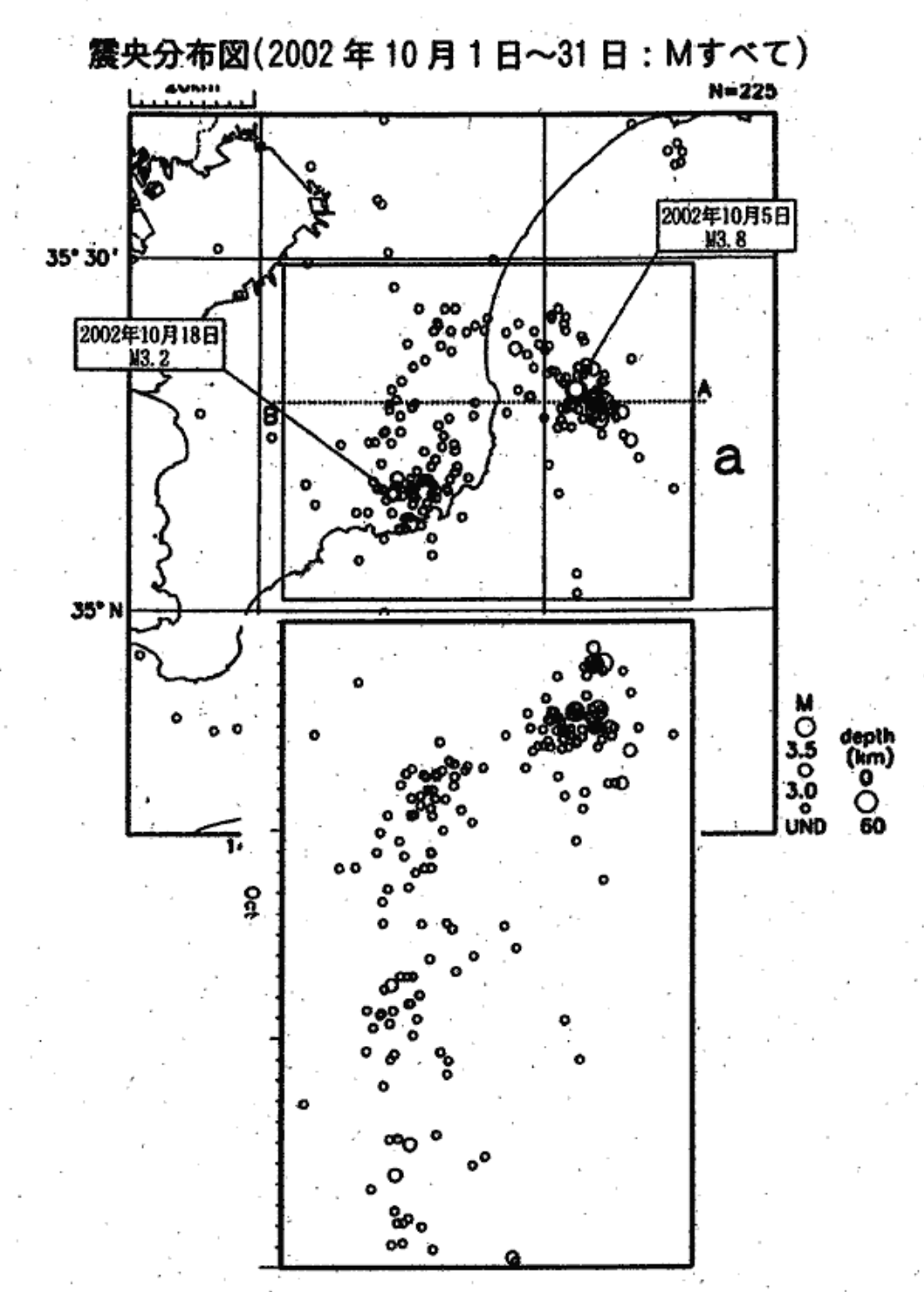
Fig.26 Observed Horizontal Movements and Caliculated Movements by the Slip Model on Two Events

2002年房総ゆっくり地震推定滑り時間変化



第27図 ゆっくり滑りの時間変化

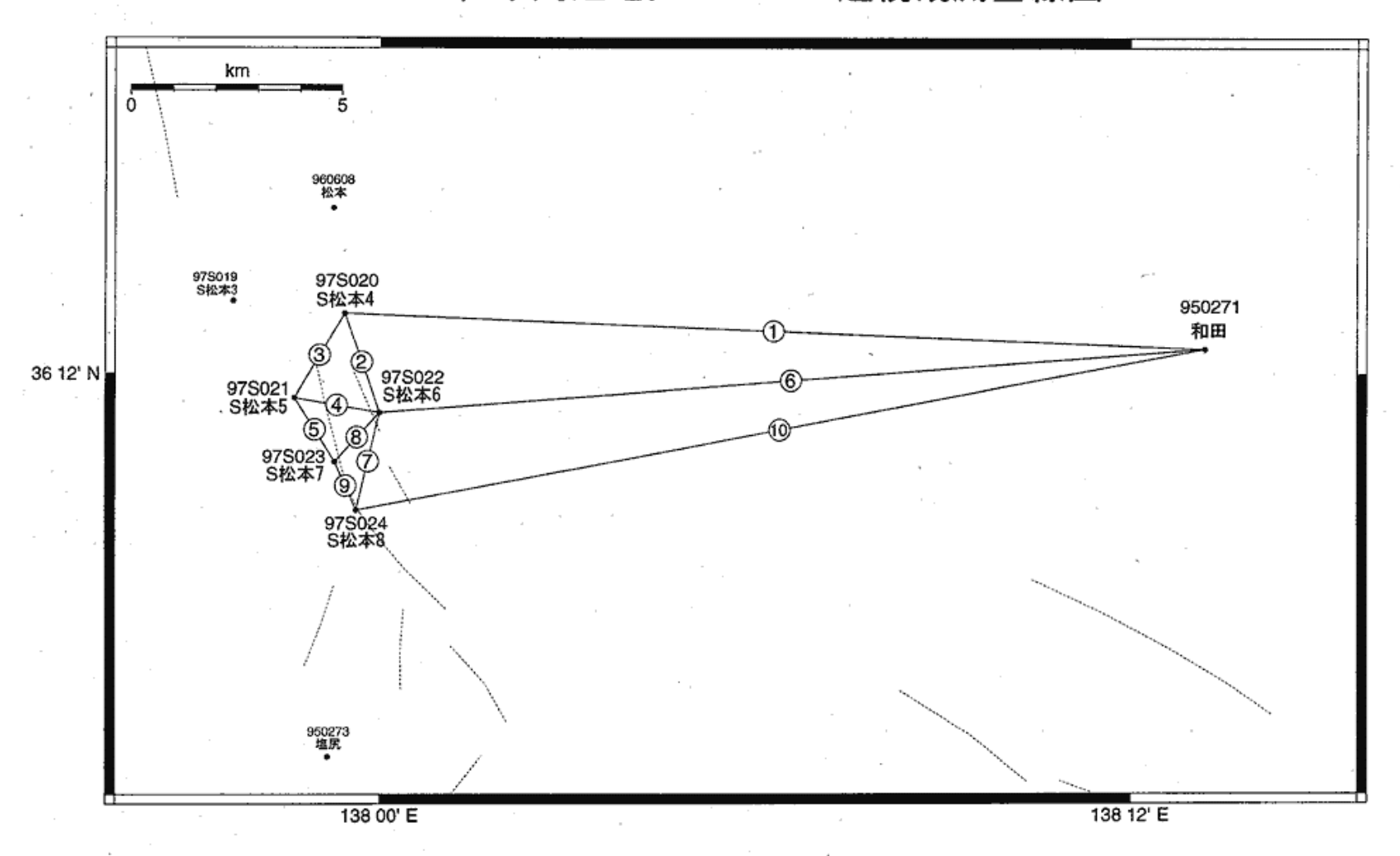
Fig.27 Transition of the Estimated Slow Slip



領域 a 内の時空間分布図(東西方向) 当初、海側の活動が主であったが、10月6日頃 から内陸側にも活動がみられるようになった。

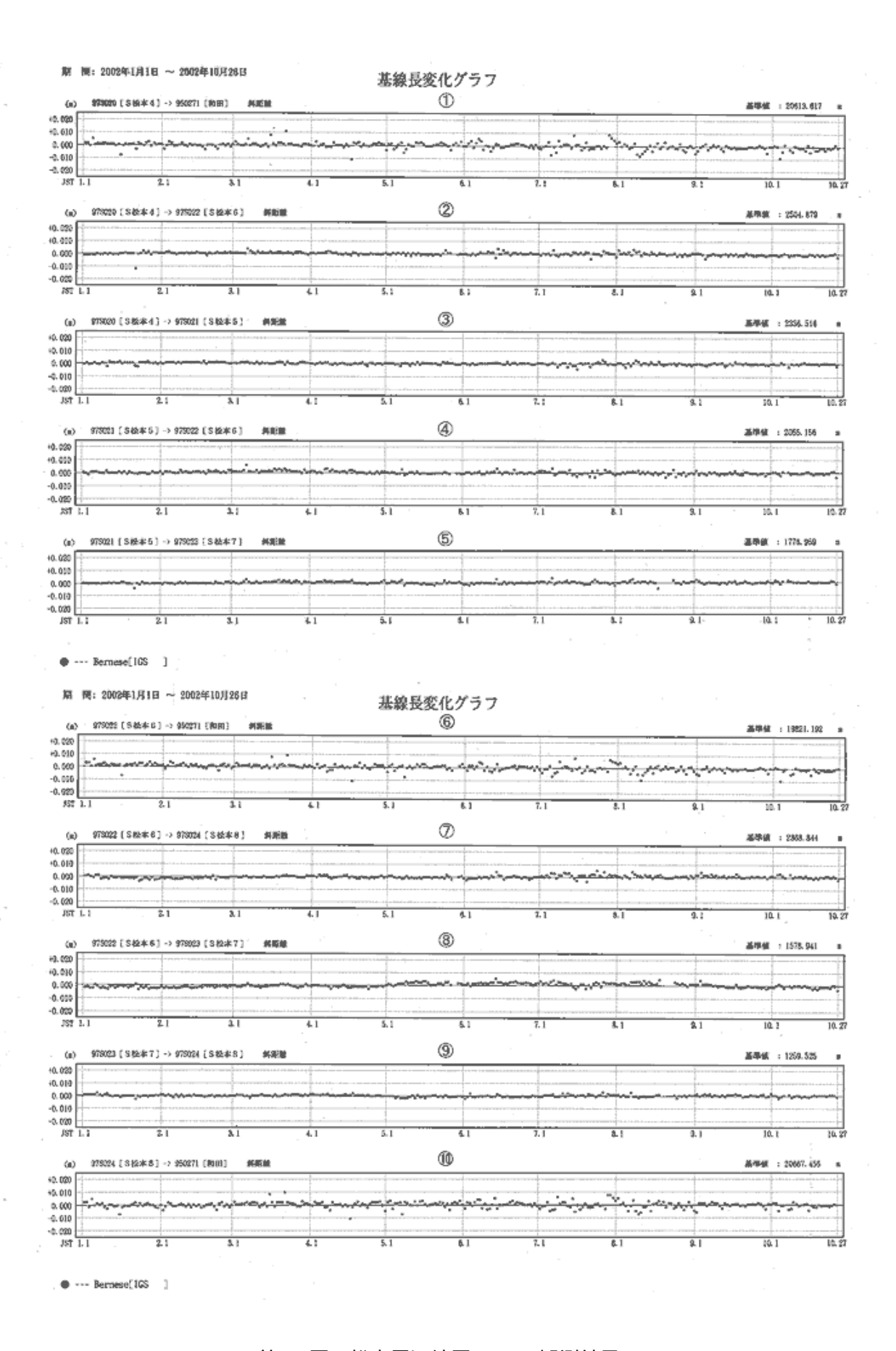
第 28 図 ゆっくり滑り発生時期の房総半島周辺の地震活動 Fig.28 Seismisity of the Boso Peninsula Region along the Slow Slip Event

松本周辺地区 GPS連続観測基線図



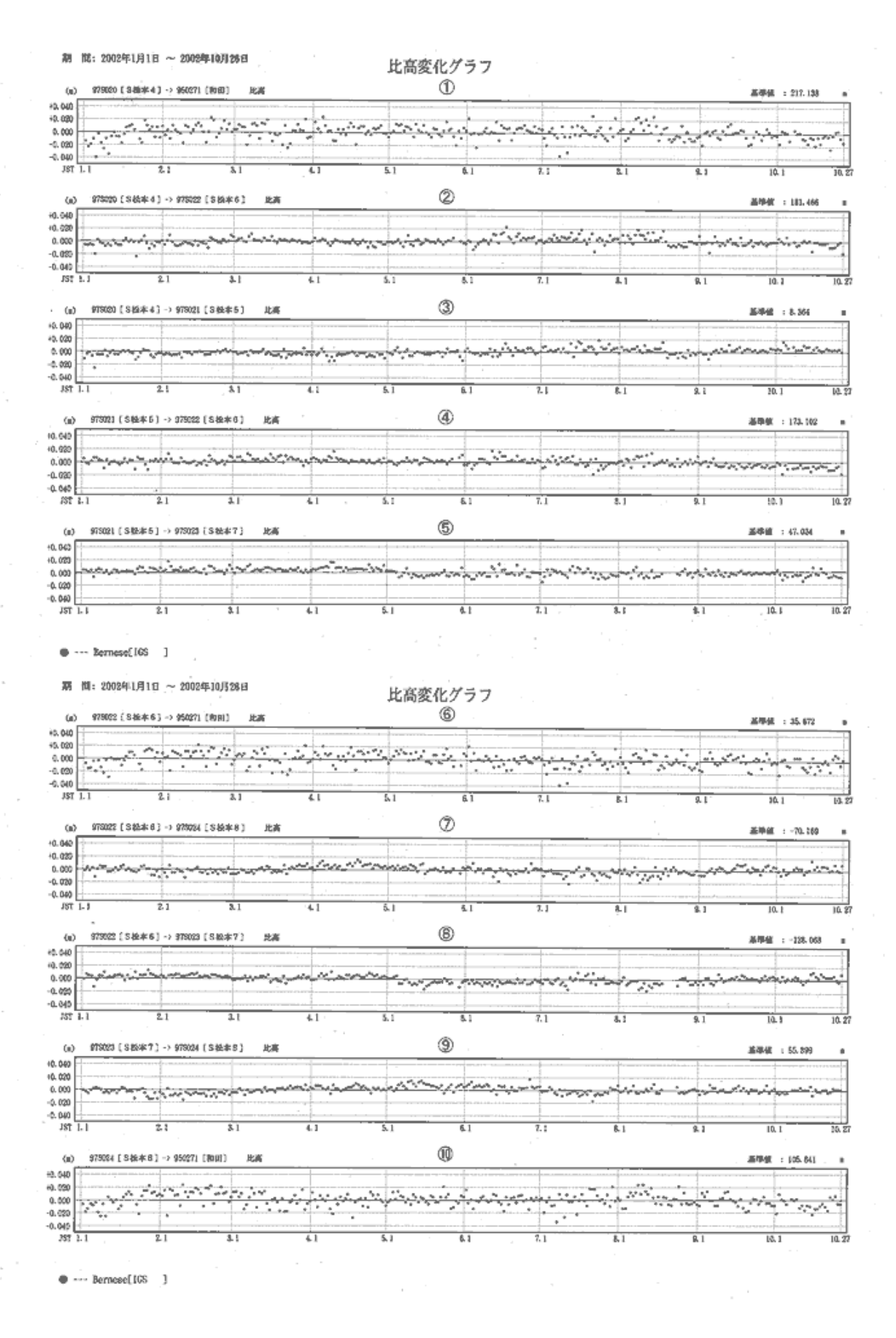
第29図 松本周辺地区の GPS 観測結果

Fig.29 Results of Continuous GPS Measurements around Matsumoto Area



第30図 松本周辺地区の GPS 観測結果

Fig.30 Results of Continuous GPS Measurements around Matsumoto Area



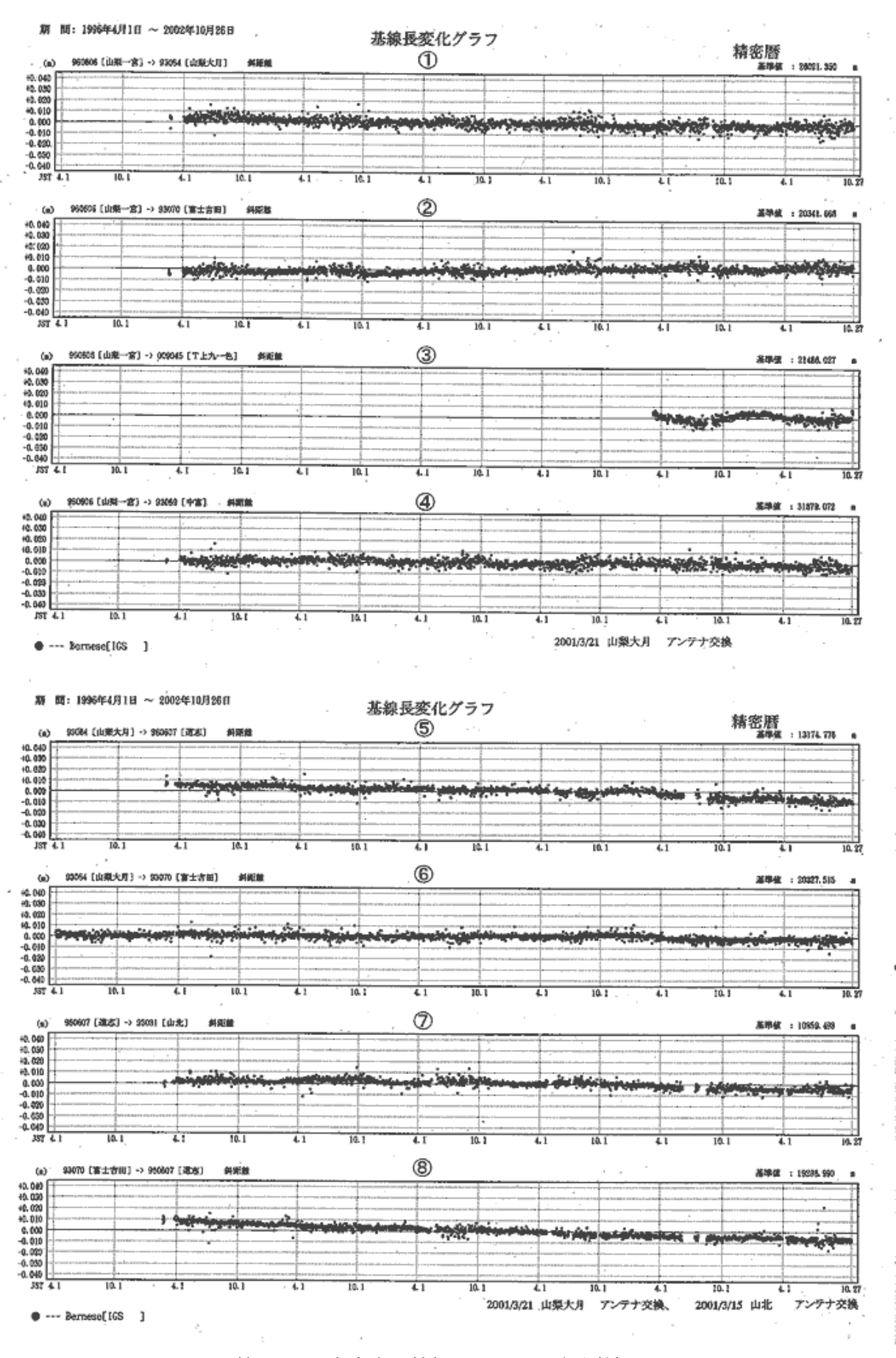
第31図 松本周辺地区の GPS 観測結果

Fig.31 Results of Continuous GPS Measurements around Matsumoto Area

富士山·箱根周辺 GPS連続観測基線図 km 940048 35° 30'N 970813 138° 30'E 139° 00'E

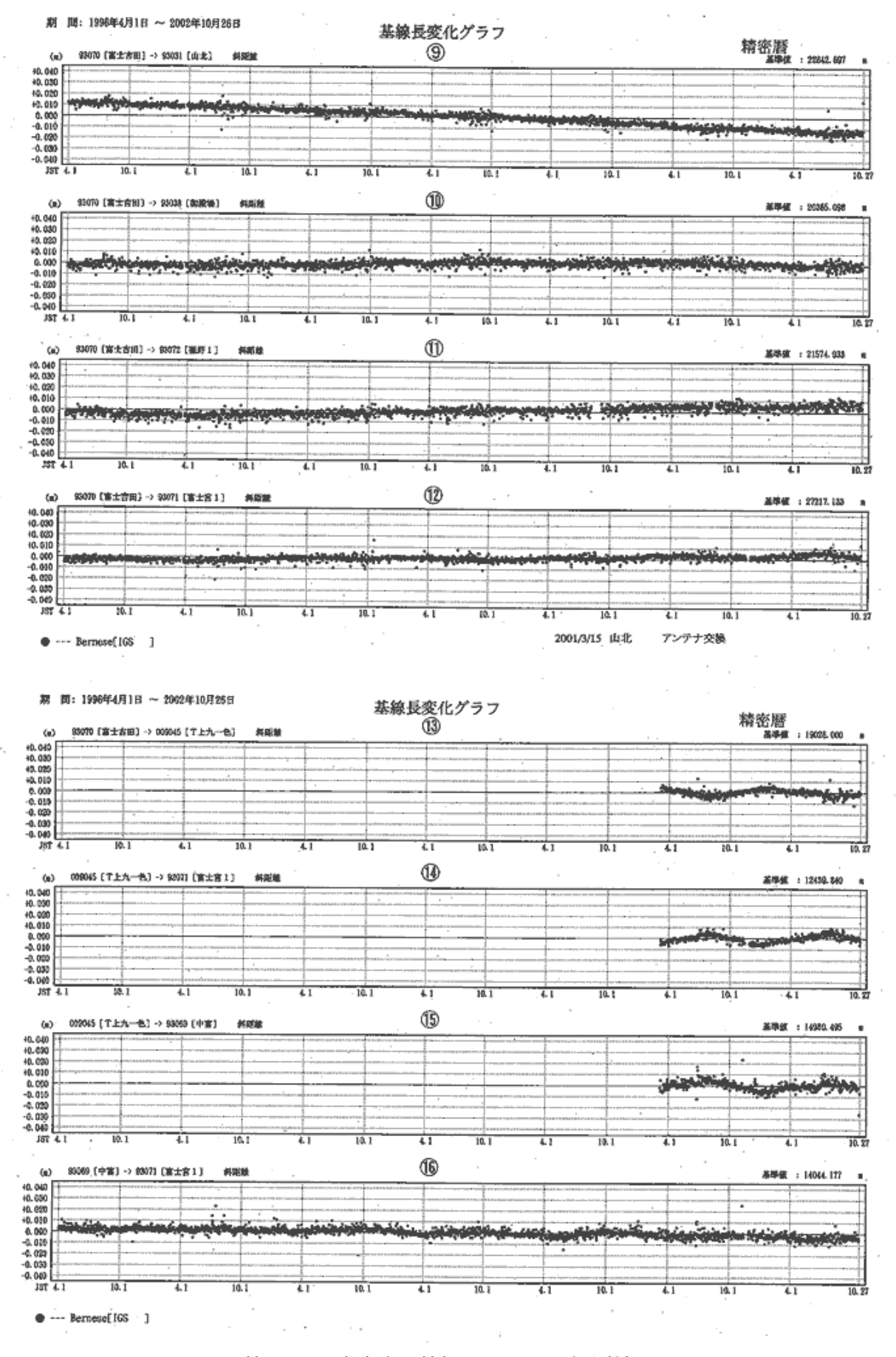
第 32 図 富士山・箱根周辺の GPS 観測結果

Fig.32 Results of Continuous GPS Measurements around Mt. Fuji and Hakone



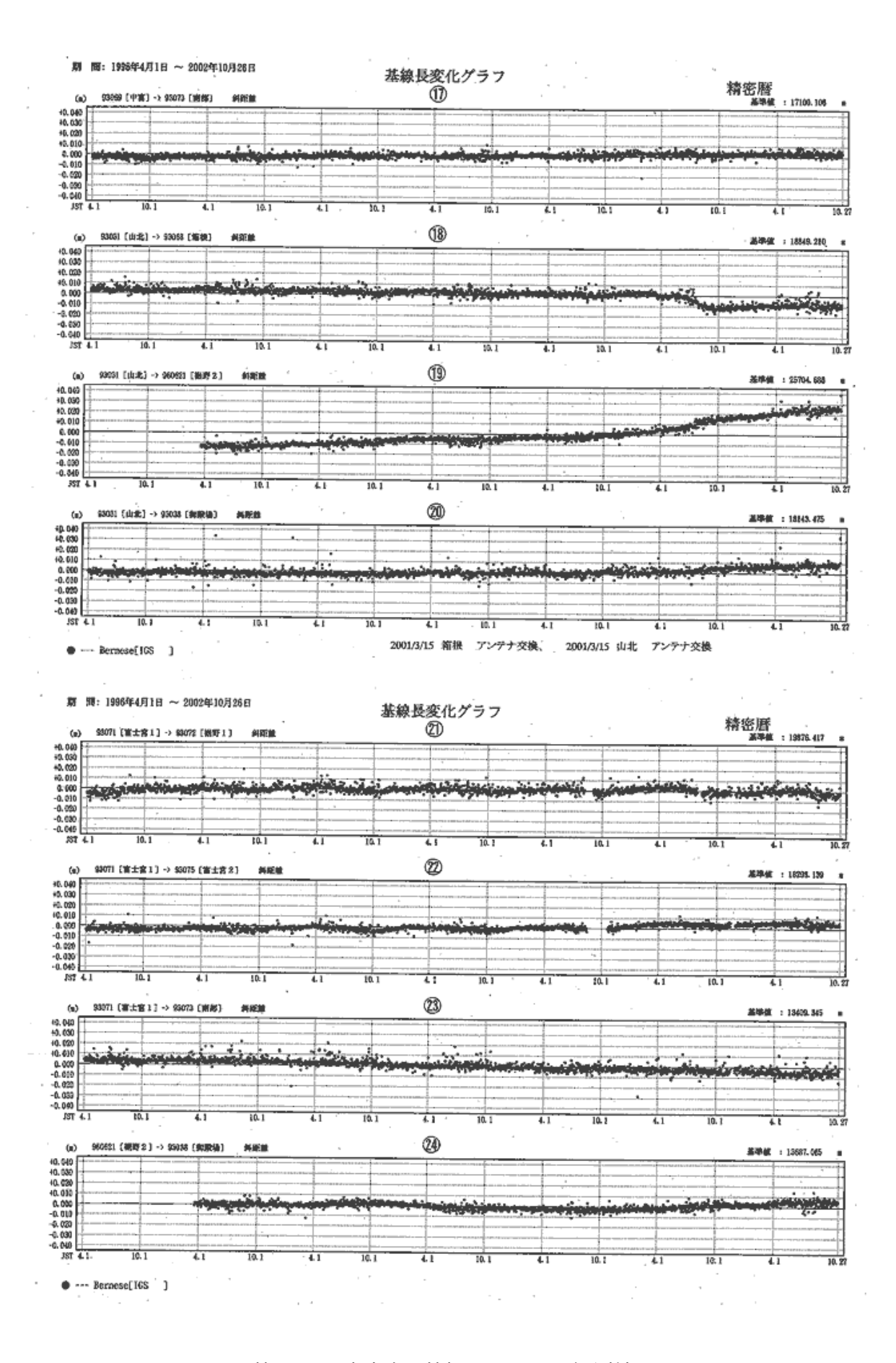
第33図 富士山・箱根周辺の GPS 観測結果

Fig.33 Results of Continuous GPS Measurements around Mt. Fuji and Hakone



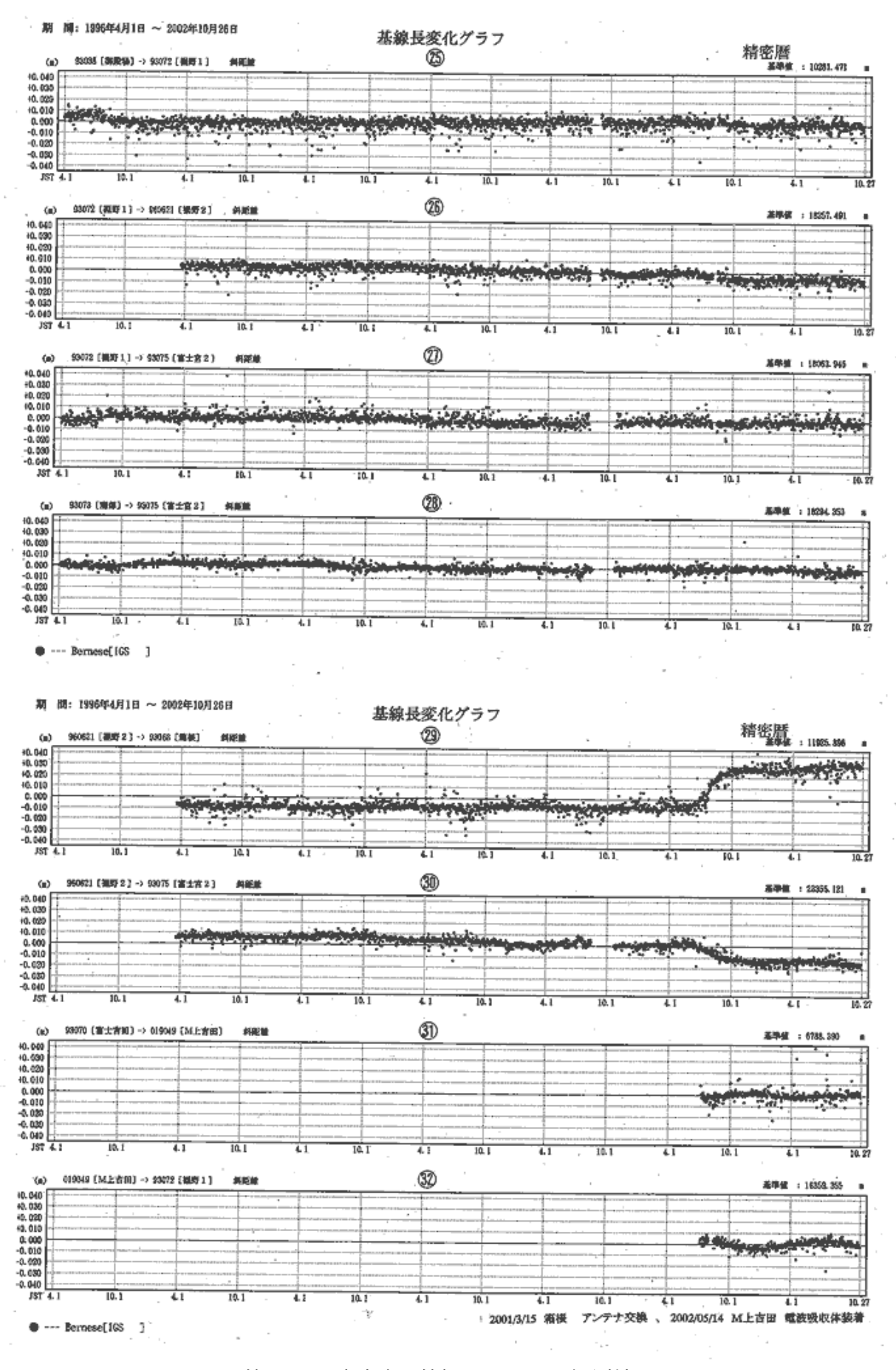
第34図 富士山・箱根周辺の GPS 観測結果

Fig.34 Results of Continuous GPS Measurements around Mt. Fuji and Hakone



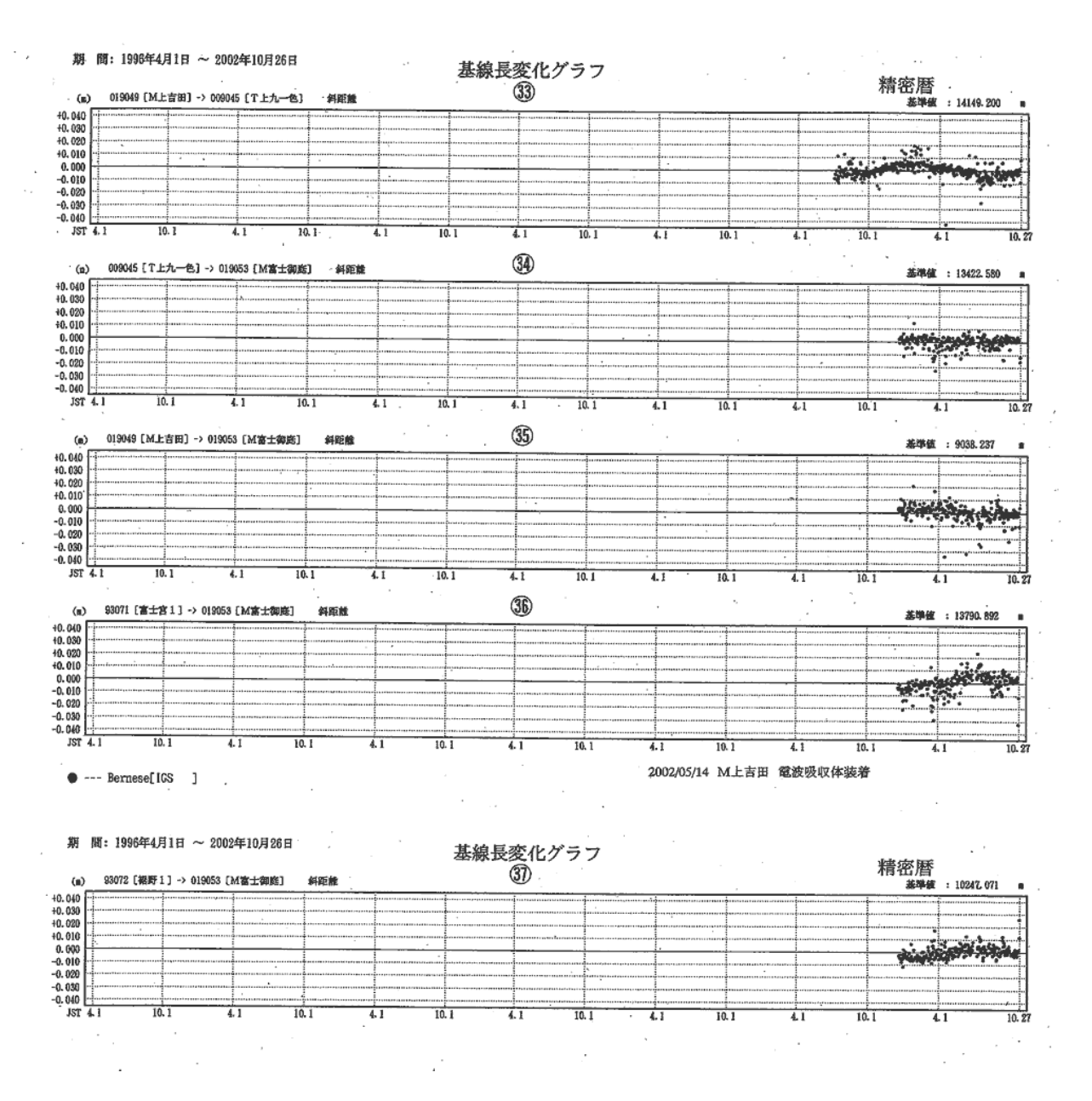
第35図 富士山・箱根周辺の GPS 観測結果

Fig.35 Results of Continuous GPS Measurements around Mt. Fuji and Hakone



第36図 富士山・箱根周辺の GPS 観測結果

Fig.36 Results of Continuous GPS Measurements around Mt. Fuji and Hakone



第37図 富士山・箱根周辺の GPS 観測結果

Fig.37 Results of Continuous GPS Measurements around Mt. Fuji and Hakone

富士山における重力変化

Gravity Change at Mt.Fuji

国 土 地 理 院

Geographical Survey Institute

1.はじめに

国土地理院では,富士山周辺の重力変化の検出を目的として,重力の絶対測定および相対測定を 実施している.第1回目を2001年5月から7月にかけて,また第2回目を2002年6月に実施した ので,今回はこの測定結果について報告する.

2.測定について

(1) 絶対測定

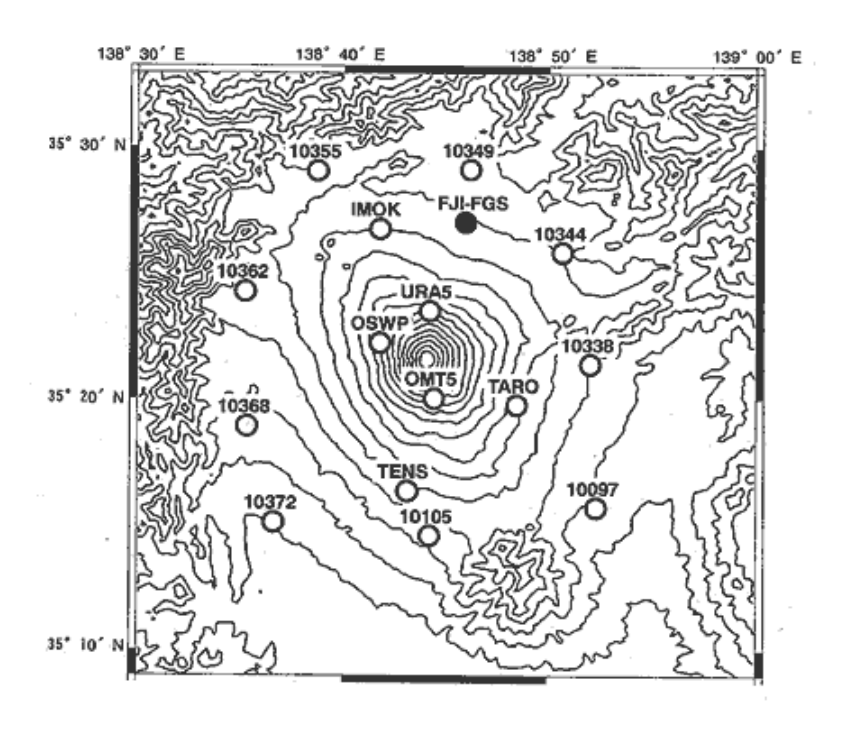
測定地点は第1図に 印で示す,2001年5月に山梨県富士吉田市に設置した富士山基準重力点(Mt.Fuji FGS)である.使用器械は,Micro-g Solutions 社製の絶対重力計 FG5(シリアル番号#203)である.表1に測定結果,表3には各種補正に関する情報を示す.

(2)相対測定

測定地点は第1図に 印で示す,富士山麓に設置した15点である.使用器械はLaCoste & Romberg 重力計2台(G-118,G554もしくはG583)である.表2に測定結果,表4には各種補正に関する情報を示す.

第1図 富士山重力測定点の位置

Fig.1 Site Location of Mt.Fuji Gravity Point



第38図 富士山重力測定点の位置

Fig.38 Site Location of Mt. Fuji Gravity Point

表 1 富士山基準重力点における絶対重力値(絶対測定)

Table.1 Absolute Gravity Value at Mt. Fuji FGS (Absolute Gravity measurements)

重力単位:[mgal]

	測定年月日					器械番号	絶対重力値		有効落下数	標準偏差*	
(I)	2001年	7月	9日~	~ ′	7月	15日	#203	979565.8959	± 0.0001	12906	0.0160
(II)	2002年	6月	4日 1	~ (6月	12日	#203	979565.9044	± 0.0001	19484	0.0105
(D-(E)						,		0.0085			

(*)有効落下データの標準偏差を表す.

表 2 富士山麓測点における重力値(相対測定)

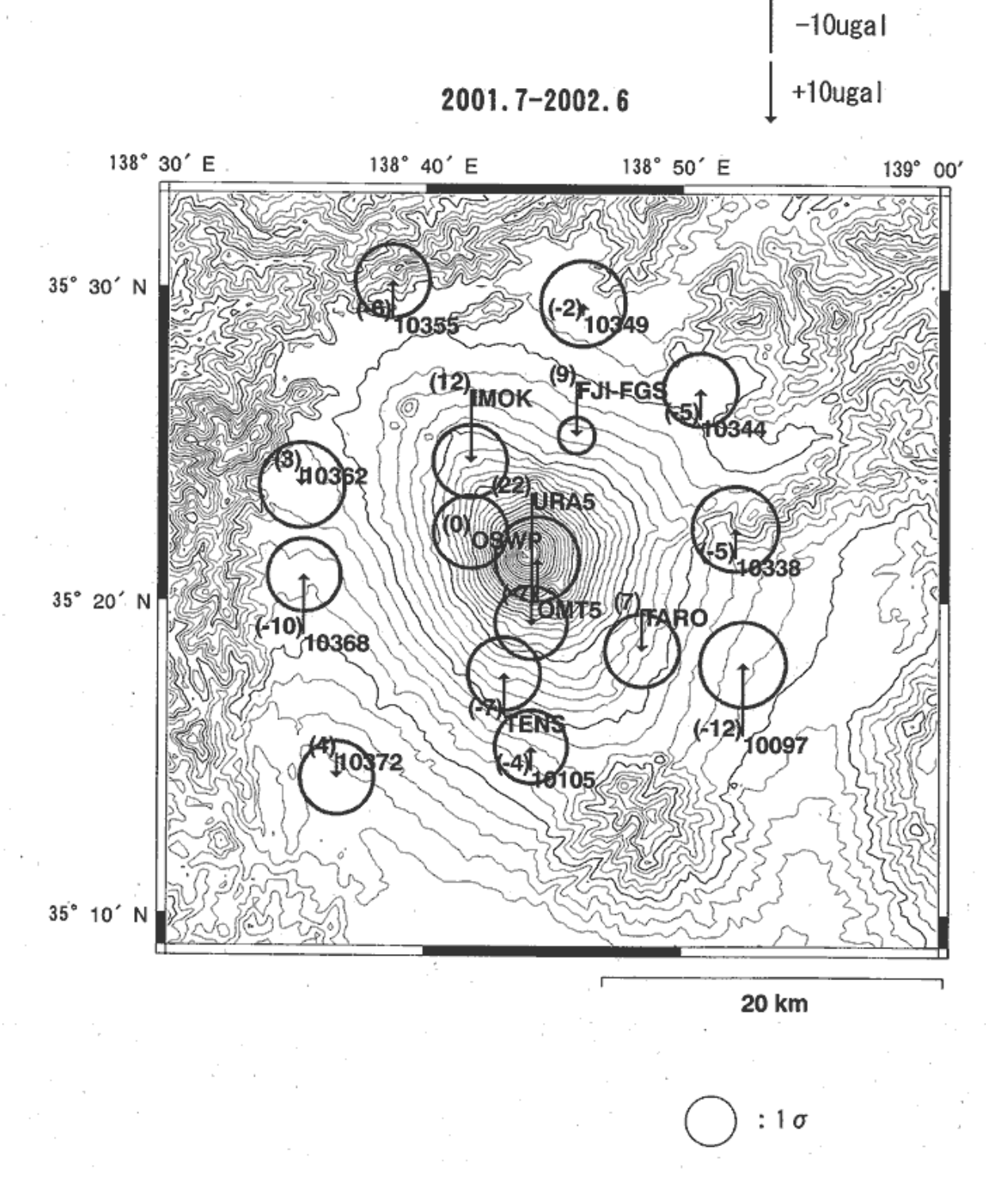
Table.2 Gravity Value around Mt. Fuji (Relative Gravity measurements)

重力単位:[mgal]

	測定期間:200	1/5/24~7/13	測定期間:200	(II)-(I)	
測点名称			使用器械:(
	重力値(I)	標準偏差	重力値(Ⅱ)	標準偏差	
URA5	979271.330	0.004	979271.352	0.005	0.022
OSWP	979326.903	0.004	979326.903	0.005	0.000
OMT5	979250.097	0.005	979250.090	0.005	-0.007
TARO	979506.317	0.004	979506.324	0.004	0.007
IMOK	979511.207	0.004	979511.219	0.005	0.012
TENS	979552.814	0.004	979552.807	0.004	-0.007
10349	979606.033	0.005	979606.031	0.005	-0.002
10355	979586.810	0.004	979586.804	0.005	-0.006
10344	979589.556	0.005	979589.551	0.004	-0.005
10362	979577.076	0.005	979577.079	0.005	0.003
10338	979620.434	0.005	979620.429	0.005	-0.005
10368	979638.210	0.004	979638.200	0.004	-0.010
10372	979696.927	0.005	979696.931	0.004	0.004
10097	979655.199	0.005	979655.187	0.005	-0.012
10105	979630.436	0.004	979630.432	0.004	-0.004

第39図 富士山の重力変化

Fig.39 Gravity Change at Mt. Fuji



第 40 図 富士山の重力変化 Fig.40 Gravity Change at Mt. Fuji

表 3 各種補正情報(絶対測定)

Table.3 Auxiliary Information (Absolute Gravity measurements)

FJI-FGS
35.4533°N**, 138.7631E**, 1040m
重力値は標識の上面から 1.300m 直上に化成
重力鉛直勾配 dg/dh=-0.3017mgal/m
1.164 (ただし、永久潮汐については 1.0)
アドミタンス 0.0003mgal/hPa
標準大気圧は標高に基づき、894.39hPa
IERS Bulletin B による極位置を使用, δファクター=1.164
GOTIC2 (Ver.2001.05.16)

(**)緯度,経度は世界測地系に基づく値

表 4 各種補正情報(相対測定)

Table.4 Auxiliary Information (Absolute Gravity measurements)

観	測	法	往復観測		
器材		Œ	重力値は標識の上面に化成した値		
	械高補		重力鉛直勾配 dg/dh=-0.3086mgal/m		
基準	とした重力	値	富士山基準重力点の平均重力値		
固体	潮汐∂ファクタ		1.20		
気	圧 補	正	補正なし		
測点	URA5		35.3947°N, 138.7325E, 2300m		
	OSWP		35.3739°N, 138.6925E, 2020m		
	OMT5		35.3367°N, 138.7333E, 2380m		
	TARO		35.3328°N, 138.8044E, 1280m		
	IMOK		35.4492°N, 138.6922E, 1236m		
点緯度**	TENS	-	35.2758°N, 138.7147E, 1001m		
度 **	10349		35.4889°N, 138.7658E, 862m		
経	10355		35.4875°N, 138.6425E, 967m		
経度**・	10344		35.4339°N, 138.8417E, 990m		
*• 標高	10362		35.4075°N, 138.5844E, 879m		
	10338		35.3597°N, 138.8642E, 795m		
	10368		35.3181°N, 138.5861E, 516m		
	10372		35.2550°N, 138.6081E, 212m		
	10097		35.2653°N, 138.8692E, 543m		
	10105		35.2464°N, 138.7328E, 663m		

(**)緯度,経度は世界測地系に基づく値

第41図 富士山の重力変化

Fig.41 Gravity Change at Mt. Fuji